

# Análisis de variable compleja

*Tema 1: El cuerpo de los números complejos*

Grado en Ingeniería Aeroespacial

Dr. Eduardo del Arco Fernández



Universidad  
Rey Juan Carlos

Escuela Técnica Superior de Ingeniería de Telecomunicación

# Bibliografía

*Variable Compleja y Aplicaciones.* Ruel V. Churchill y James Word Brown. 4ª Edición. Libros McGraw-Hill de México

*Complex Analysis. An introduction to the Theory of Analytic Funciones of One Complex Variable.* Lars V. Ahlfors. Third Edition. McGraw-Hill, Inc.

# Donde estamos

Tema 0: Presentación

## **Tema 1: El Cuerpo de los Números Complejos**

- Definiciones básicas
- Propiedades algebraicas
- Interpretación geométrica
- Propiedades del módulo y el conjugado
- Forma polar
- Forma exponencial
- Potencias y raíces
- Regiones del plano de Argand

Tema 2: Funciones complejas de variable compleja

Tema 3: Integración de funciones complejas

# I. Definiciones básicas

**DEF:** Los números complejos  $z$  se definen como pares ordenados  $z = (x, y)$  de números reales  $x$  e  $y$  con operación de suma y producto.

$$(0, y) \rightarrow \text{Imaginarios puros} \quad \mathbf{Im}(z) = y$$

$$(x, 0) \rightarrow \text{Reales puros} \quad \mathbf{Re}(z) = x$$

**DEF:** Sean dos números complejos  $z_1, z_2$ , entonces  $z_1 = z_2$  si y solo si

$$(x_1, y_1) = (x_2, y_2)$$

**DEF:** Suma de dos números complejos  $z_1, z_2$

$$z_1 + z_2 = (x_1 + x_2, y_1 + y_2)$$

$$\text{e.g.: } (x, 0) + (0, y) = (x, y)$$

**DEF:** Producto dos números complejos  $z_1, z_2$

$$z_1 \cdot z_2 = (x_1x_2 - y_1y_2, y_1x_2 + x_1y_2)$$

$$\text{e.g.: } (0, 1) + (y, 0) = (0, y)$$

Se lee: La *parte real* de  $z_1$  es igual a la *parte real* de  $z_2$ ... lo mismo para la parte imaginaria

En la práctica, esta notación es confusa y por eso no se utiliza



# I. Definiciones básicas

**OBS:** Suma y producto solamente con la parte real

$$(x_1,0) + (x_2,0) = (x_1 + x_2,0)$$

$$(x_1,0) \cdot (x_2,0) = (x_1x_2,0)$$

**COR:** El sistema de los números complejos es una extensión de los números reales

**DEF:** Forma rectangular o binomial

$$z = (x, y) = x + iy$$

Utilizando la operación del producto:

$$i^2 = (0,1)(0,1) = (-1,0)$$

Posiblemente este sea una de las relaciones más importantes de la historia de las matemáticas:

$$i^2 = -1 \Rightarrow i = \sqrt{-1}$$

Esta es la notación que se utiliza habitualmente, junto a la notación polar (o exponencial)

En ingeniería eléctrica y electromagnetismo en general, se utiliza la letra  $j$ , para distinguir a la corriente eléctrica  $i(t)$

## 2. Propiedades algebraicas

**PROP:** Propiedad conmutativa

$$z_1 + z_2 = z_2 + z_1$$

$$z_1 \cdot z_2 = z_2 \cdot z_1$$

**PROP:** Propiedad asociativa

$$(z_1 + z_2) + z_3 = z_1 + (z_2 + z_3)$$

$$(z_1 \cdot z_2) \cdot z_3 = z_1 \cdot (z_2 \cdot z_3)$$

**PROP:** Propiedad distributiva

$$z_1 \cdot (z_2 + z_3) = z_1 z_2 + z_1 z_3$$

**PROP:** Elementos neutros suma y producto

- Elemento neutro de la suma:  $0 = (0,0)$ , de modo que  $z + 0 = z$
- Elemento neutro del producto:  $1 = (1,0)$ , de modo que  $z \cdot 1 = z$

$$\text{e.g.: } (x + iy) + (u + iv) = x + y \Rightarrow u = 0 \ \& \ v = 0$$

¿Qué suma “de cabeza” es más sencilla,  $27+7$  o  $20+14$ ?

Esto parece obvio, que luego no se os olvide

## 2. Propiedades algebraicas

**DEF:** Inverso de la suma. Cada número complejo  $z = (x, y)$

le corresponde un  $-z = (-x, -y)$ , tal que:

$$z_1 - z_2 = z_1 + (-z_2)$$

**DEF:** Inverso del producto,  $z \cdot z^{-1} = 1$

$$(x, y) \cdot (u, v) = 1$$

Obtención de  $z^{-1} = (u, v) = u + iv$

Lo escribimos en forma rectangular y, utilizando las propiedades...

$$(x + iy)(u + iv) = xu + ixv + iyu - yv = xu - yv + i(xv + yu) = 1 + i0$$

$$\left. \begin{array}{l} xu - yv = 1 \\ yu + xv = 0 \end{array} \right\} \Rightarrow u = \frac{x}{x^2 + y^2} \text{ \& } v = \frac{-y}{x^2 + y^2}$$

Veremos que existen un par de maneras más prácticas de dividir números complejos

**COR:** Si  $z_1 z_2 = 0$ , entonces algún  $z_i = 0$

## 2. Propiedades algebraicas

**DEF:** División de números complejos

$$\frac{z_1}{z_2} = z_1 \cdot z_2^{-1} \text{ (con: } z_2 \neq 0)$$

$$\frac{z_1}{z_2} = \left( \frac{x_1x_2 + y_1y_2}{x_2^2 + y_2^2}, \frac{y_1x_2 - x_1y_2}{x_2^2 + y_2^2} \right)$$

¿Me aprendo esto de memoria? No. Hay dos formas mucho más sencillas, las veremos más adelante

**PROPS:**

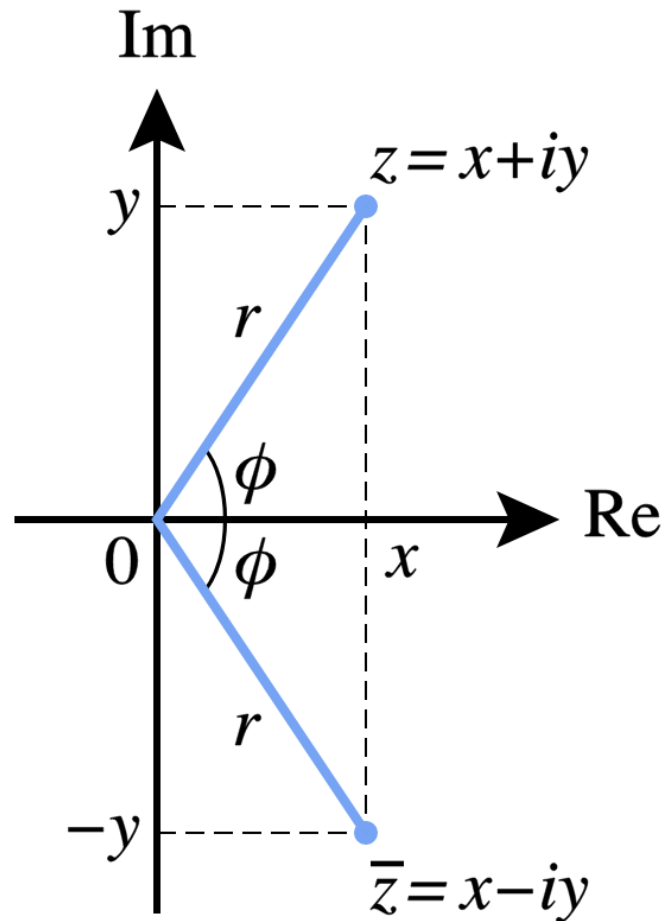
1.  $\frac{z_1}{z_2} = z_1 \cdot \left( \frac{1}{z_2} \right)$
2.  $(z_1z_2)(z_1^{-1}z_2^{-1}) = (z_1z_1^{-1})(z_2z_2^{-1}) = 1$
3.  $(z_1z_2)^{-1} = z_1^{-1}z_2^{-1}$
4.  $\frac{z_1 + z_2}{z_3} = \frac{z_1}{z_3} + \frac{z_2}{z_3}$
5.  $\frac{z_1z_2}{z_3z_4} = \frac{z_1}{z_3} \cdot \frac{z_2}{z_4}$

### 3. Interpretación geométrica

**DEF: Plano de Argand,** también llamado plano complejo o plano  $z$ . Es la representación geométrica de los números complejos, estableciendo la parte real y la parte imaginaria como dos ejes perpendiculares.

**OBS:** El concepto de plano de Argand permite la interpretación geométrica de los números complejos.

**OBS:** Una imagen vale más que mil palabras.



¿Quién fue Jean Robert Argand? Se trata de una historia muy interesante.  
<https://mathshistory.st-andrews.ac.uk/Biographies/Argand/>



# 3. Interpretación geométrica

**OBS:** Cada par parte real, parte imaginaria, se representa como un segmento orientado

$$(0,0) \rightarrow (x,y)$$

**DEF:** Módulo, proximidad al origen (0,0)

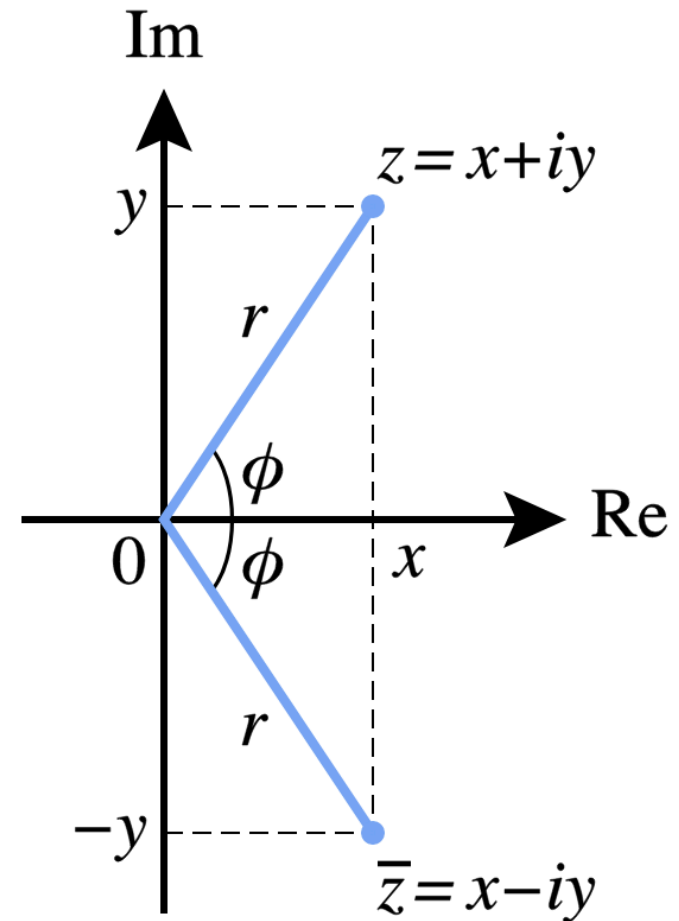
$$|z| = r = \sqrt{x^2 + y^2}$$

e.g.:

- $|-3 + 2i| = \sqrt{9 + 4} = \sqrt{13}$
- $|1 + 4i| = \sqrt{1 + 16} = \sqrt{17}$

**Cuestión I:**

- $|z - 1 + 3i| = 2$ , donde  $z$  son los números complejos que cumplan esa igualdad. ¿Qué lugar geométrico forman dichos  $z$ ? Se trata de la circunferencia de centro  $z_0 = (1, -3)$  y radio  $R = 2$ .
- ¿Y qué sucede si planteamos  $|z - 1 + 3i| < 2$ ?



### 3. Interpretación geométrica

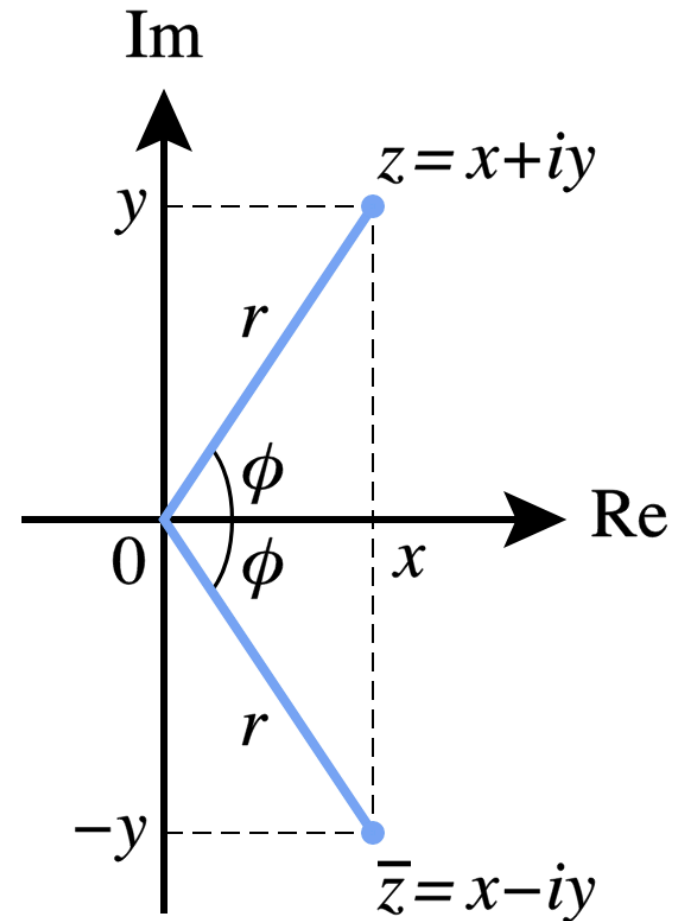
**DEF:** Conjugado. Sea un número complejo  $z = x + iy$ , el conjugado de  $z$  es  $\bar{z} = x - iy$

**OBS:** Véase el dibujo

**OBS:** En este curso preferimos utilizar otra notación para evitar la confusión con la notación de vector  $y$ , sobre todo, la de fasor.

Así:

$$\bar{z} = z^*$$



## 4. Propiedades del módulo y de el conjugado

### PROPs:

- $(z_1 + z_2)^* = z_1^* + z_2^*$
- $(z_1 - z_2)^* = z_1^* - z_2^*$

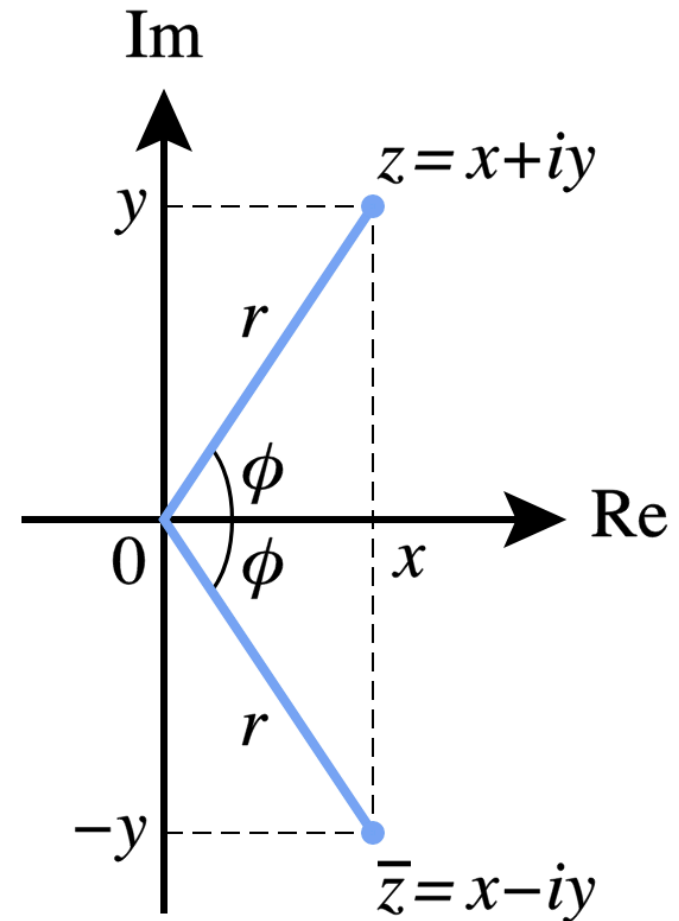
### COR:

$$\mathbf{Re}(z) = \frac{z + z^*}{2}$$

$$\mathbf{Im}(z) = \frac{z - z^*}{2i}$$

$$z \cdot z^* = |z|^2$$

e.g.: pizarra





## 4. Propiedades del módulo y de el conjugado

### PROPS: (del módulo)

1.  $|z_1 + z_2| = |z_1| |z_2|$

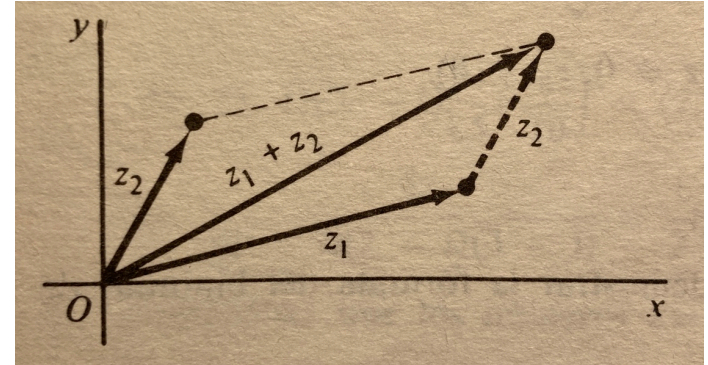
2.  $\left| \frac{z_1}{z_2} \right| = \frac{|z_1|}{|z_2|}$  con  $z_2 \neq 0$

3. Desigualdad triangular:

$$|z_1 + z_2| \leq |z_1| + |z_2|$$

### DEM: (de 1)

$$|z_1 z_2|^2 = (z_1 z_2)(z_1 z_2)^* = (z_1 z_2^*)(z_1 z_2^*) = |z_1|^2 |z_2|^2 = (|z_1| |z_2|)^2$$



Desigualdad triangular. Fuente: Variable Compleja y Aplicaciones. V. Churchill y Ward Brown. 4ª edición.

## 4. Propiedades del módulo y de el conjugado

**DEM:** Desigualdad triangular,  $|z_1 + z_2| \leq |z_1| + |z_2|$

$$|z_1 + z_2|^2 = (z_1 + z_2)(z_1 + z_2)^* = (z_1 + z_2)(z_1^* + z_2^*)$$

Efectuando la multiplicación por el miembro de la derecha:

$$|z_1 + z_2|^2 = z_1 z_1^* + z_1 z_2^* + (z_1 z_2^*)^* + z_2 z_2^*$$

No obstante:

$$z_1 z_2^* + (z_1 z_2^*)^* = 2 \operatorname{Re}(z_1 z_2^*) \leq 2 |z_1 z_2^*| = 2 |z_1| |z_2|$$

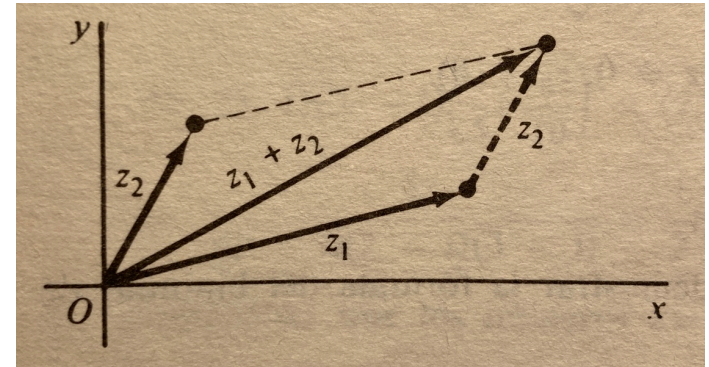
lo introducimos y aplicamos corolario:

$$|z_1 + z_2|^2 \leq |z_1|^2 + 2 |z_1| |z_2| + |z_2|^2$$

que también puede escribirse como:

$$|z_1 + z_2|^2 \leq (|z_1| + |z_2|)^2$$

Los módulos nunca son negativos (recuerde la definición), así que tomando raíces cuadradas se verifica la desigualdad triangular.



Desigualdad triangular. Fuente: Variable Compleja y Aplicaciones. V. Churchill y Ward Brown. 4ª edición.

## 4. Propiedades del módulo y de el conjugado

**DEF:** Sean dos números complejos  $z_1$  y  $z_2$ :

$$z_1 = x_1 + iy_1$$

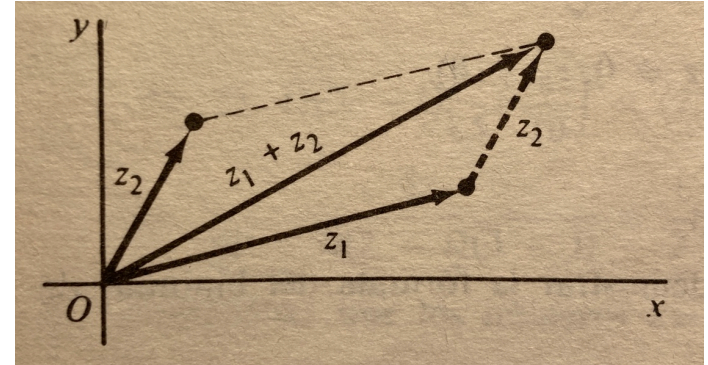
$$z_2 = x_2 + iy_2$$

Se define la distancia entre  $z_1$  y  $z_2$  como  $|z_1 - z_2|$

$$|z_1 - z_2| = \sqrt{(x_1 - x_2)^2 + (y_1 - y_2)^2}$$

**OBS:** Repase los conceptos de:

- Distancia Euclidea.
- Forma cuadrática sobre un espacio vectorial
- Norma de un espacio vectorial



Desigualdad triangular. Fuente: Variable Compleja y Aplicaciones. V. Churchill y Ward Brown. 4ª edición.

## 4. Propiedades del módulo y de el conjugado

**Cuestión 2:** ¿Qué forma geométrica tienen los módulos “por sí solos” en el Plano de Argand?

Dibuje los siguientes números complejos:

- $|z| = C$
- $|z| \geq C$
- $|z| \leq 1$
- $|z| < 1$

# 5. Forma polar

**DEF:** Sean  $\theta$  y  $r$  coordenadas polares del punto  $(x, y)$ ,  $z = x + iy$ , tal que:

$$x = r \cos \theta$$

$$y = r \sin \theta$$

$$\text{Entonces } z = r (\cos \theta + i \sin \theta)$$

**e.g.:**

$$1 - i \rightarrow \sqrt{2} [\cos(-\pi/4) + \sin(-\pi/4)]$$

$$r = |z| = \sqrt{x^2 + y^2}$$

$$\theta = -\frac{\pi}{4} + 2k\pi, k = 0, \pm 1, \pm 2, \dots$$

$$\tan \theta = \frac{y}{x} \rightarrow \theta = \arctan \frac{y}{x}$$

**DEF:** Valor principal  $\theta = \arg z$  es el único valor entre  $-\pi < \theta \leq \pi$

Con esto vamos a dividir dos números complejos, y también vamos a hacer muchas más cosas muy interesantes

Mucho cuidado con la calculadora y la arco tangente, hay que usarla "con cabeza": La calculadora siempre da el ángulo más próximo a 0 o al primer cuadrante.

¿Qué sucede si  $x$  e  $y$  son ambos negativos? que nos dará un ángulo del primer cuadrante y no del tercero. ¡Hay que sumarle  $\pi$ !

¿Y si  $y$  es negativo? La calculadora nos proporciona en el segundo cuadrante, no en el cuarto...





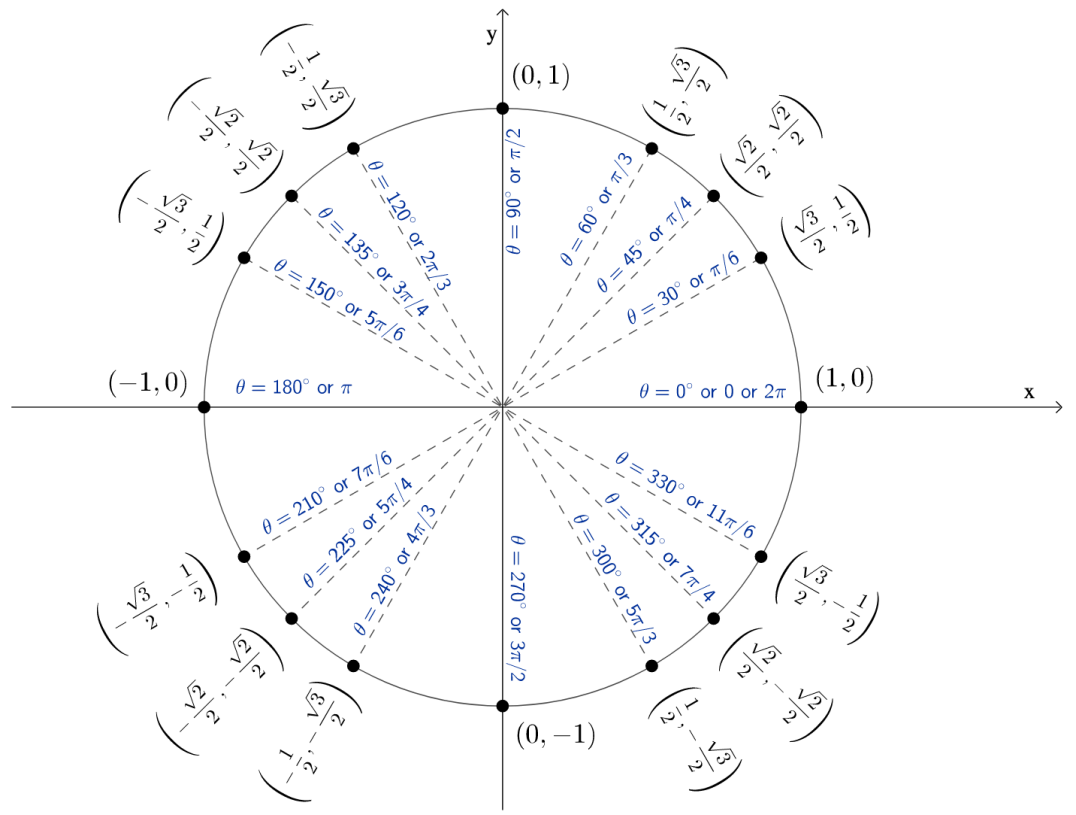
Cuentame... ¿Qué te pasa?



La calculadora estaba en radianes



- La calculadora, mejor en radianes... Lo ideal (para toda la vida):
- Aprendan a trabajar en radianes y en grados indistintamente
  - Para hacer cálculos, mejor en radianes
  - Para hablar en lenguaje natural, mejor en grados (no le dices a nadie por la calle que haga un giro en  $-\pi/2$  o que corte el pan a  $\pi/6$ ).
  - Apréndase las razones trigonométricas más comunes para ir más rápido...



# 5. Forma polar

## PROPs:

1.  $z_1 z_2 = r_1 r_2 [\cos(\theta_1 + \theta_2) + i \sin(\theta_1 + \theta_2)]$
2.  $\arg(z_1 z_2) = \arg z_1 + \arg z_2$
3.  $z^{-1} = \frac{1}{r} [\cos(-\theta) + i \sin(-\theta)], r > 0$
4.  $\frac{z_1}{z_2} = \frac{r_1}{r_2} [\cos(\theta_1 - \theta_2) + i \sin(\theta_1 - \theta_2)], r_2 > 0$
5.  $\arg\left(\frac{z_1}{z_2}\right) = \arg z_1 - \arg z_2, r_2 > 0$

¡Aquí está la división de números complejos!

**Cuestión 3:** Demuestre la propiedad 1.

**Cuestión 4:** Demuestre la propiedad 4.

**Cuestión 5:** Encuentre la relación entre la propiedad 4 y la anterior definición de división.

# 6. Forma exponencial

## DEF: Fórmula de Euler

Para cualquier valor real de  $\theta$ , se cumple:

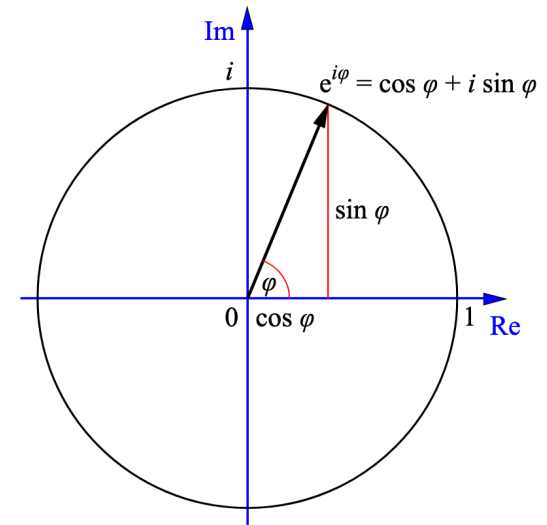
$$e^{i\theta} = \cos \theta + i \sin \theta$$

Donde  $e$  es el número de Euler.

¿Cuál es el número de Euler cómo se obtiene? Repase las series aritméticas y las series geométricas para entender esta definición:

$$e = \lim_{n \rightarrow \infty} \left( 1 + \frac{1}{n} \right)^n$$

El propio Leonhard Euler (siglo XVIII) definió el número  $e$  como: “aquel número real tal que el valor de la derivada (la pendiente de la línea tangente) de la función  $f(x) = e^x$  en el punto  $x = 0$  es exactamente 1”.





# 6. Forma exponencial

## **OBS: Breve explicación histórica**

Leonhard Euler fue alumno de Jakob Bernoulli, miembro de la conocida familia de científicos y matemáticos. Bernoulli estaba estudiando el problema del interés compuesto, de vital importancia en el cálculo de las liquidaciones de los préstamos y las inversiones...

Enfoquemos brevemente este problema con un ejemplo en números *redondos*: Se invierte 1€ en un fondo con un interés anual del 100%. Si este fondo paga los intereses una vez al año, se obtendrán 2€. Si se pagan los intereses 2 veces al año, dividiendo el interés entre 2, la cantidad obtenida es 1€ multiplicado por 1,5 dos veces, es decir  $1€ \times 1,5^2 = 2,25€$ . Si dividimos el año en 4 periodos, al igual que la tasa de interés, se obtienen  $1€ \times 1,25^4 = 2,4414...€$ . En pagos mensuales:

$$\left(1 + \frac{1}{12}\right)^{12} = 2,61303...€$$

En resumen, cada vez que se aumenta el número de liquidaciones, se reduce la tasa de interés del periodo de liquidación. Llevando el número de liquidaciones al infinito, se obtiene:

$$e = \lim_{n \rightarrow \infty} \left(1 + \frac{1}{n}\right)^n$$



# 6. Forma exponencial

**OBS:** La forma exponencial permite trabajar con los números complejos con las mismas reglas algebraicas usuales para los números reales y  $e^x$ .

**OBS: Multiplicación y división en forma exponencial**

$$z = r e^{i\theta}$$

$$z^{-1} = \frac{1}{r} e^{-i\theta}, r > 0$$

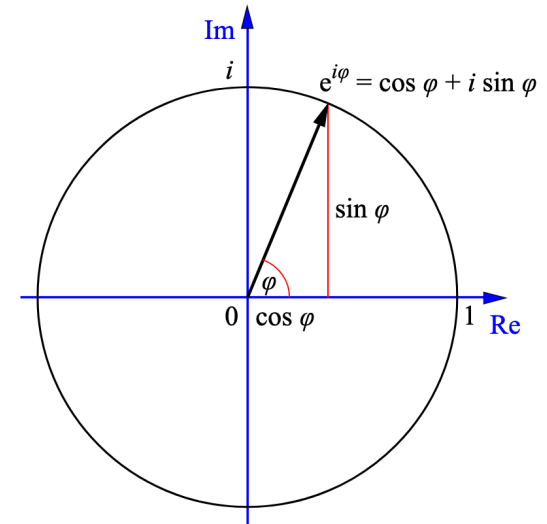
$$z_1 z_2 = r_1 r_2 e^{i(\theta_1 + \theta_2)}$$

$$\frac{z_1}{z_2} = \frac{r_1}{r_2} e^{i(\theta_1 - \theta_2)}, r_2 > 0$$

**OBS: Potencias y raíces**

$$z^n = r^n e^{in\theta}$$

$$z^{n+1} = z \cdot z^n$$



# 7. Potencias y raíces

**OBS:** Algunas consecuencias interesantes:

1. Identidad de Euler:  $e^{i\pi} + 1 = 0$
2. Formula de “de Moivre”:  $(\cos \theta + i \sin \theta)^n = \cos n\theta + i \sin n\theta$
3. Las potencias  $z$ :

$$z^n = 1 \rightarrow (re^{i\theta})^n = 1 \rightarrow r^n e^{in\theta} = 1e^{i0}$$

entonces:

$$r = 1$$

$$n\theta = 0 + 2k\pi, k = 0, \pm 1, \pm 2, \dots$$

es decir:

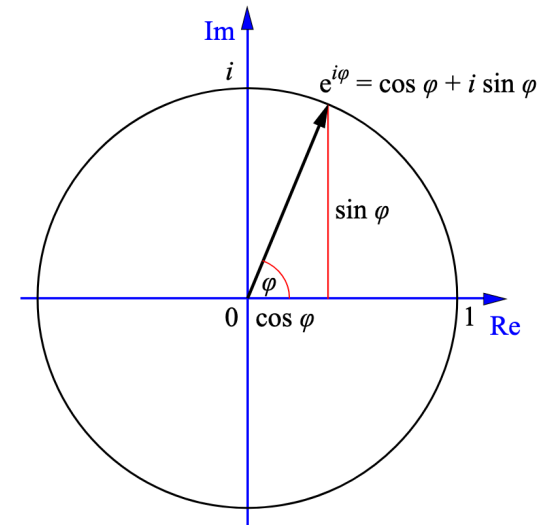
$$r = 1$$

$$\theta = \frac{2k\pi}{n}$$

de modo que:

$$z = e^{i\frac{2k\pi}{n}} = \cos \frac{2k\pi}{n} + i \sin \frac{2k\pi}{n}, k = 0, \pm 1, \pm 2, \dots$$

son las raíces enésimas de la unidad.



para  $n = 2$ , las raíces son  $\pm 1$   
para  $n \geq 3$ , corresponden a los vértices de un polígono regular de  $n$  lados que se circunscribe en un círculo unidad centrado en el origen

# 7. Potencias y raíces

**OBS:** A veces, para simplificar la escritura, se utiliza el símbolo  $\omega_n$  o  $W_n$ , de modo que:

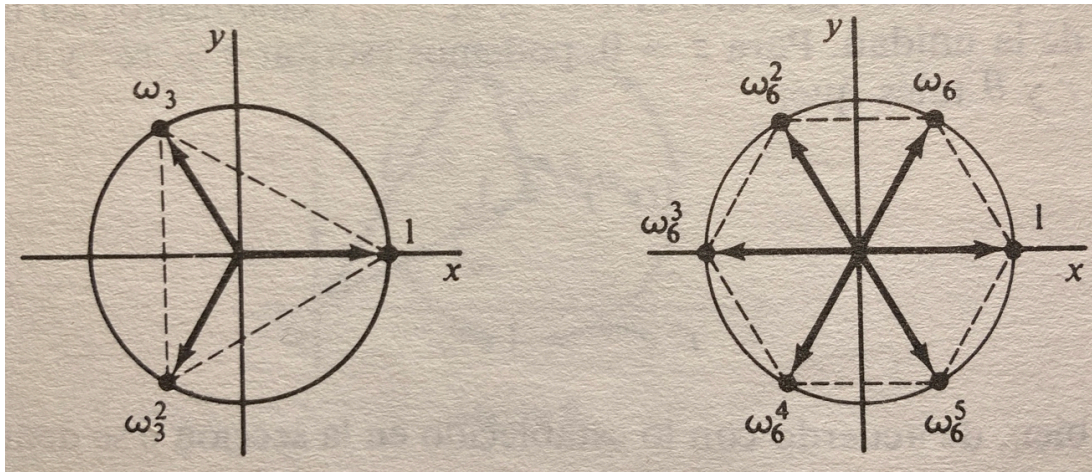
$$\omega_n^k = e^{i\frac{2\pi k}{n}}$$

**COR:**

$$\omega_n^n = 1$$

En el análisis de Fourier, concretamente uno de los algoritmos de la Fast Fourier Transform (FFT), a este símbolo se le denomina Twiddle Factor

Triángulo y hexágono. Las tres raíces cúbicas de la unidad forma un triángulo equilátero. Y las seis raíces sextas de la unidad forman un hexágono regular. Nótese que el 1 siempre es raíz.



# 7. Potencias y raíces

El método anterior se utiliza para hallar las raíces  $n$ -ésimas de cualquier número complejo  $z_0 = r_0 e^{i\theta_0}$ . Las raíces de la ecuación:

$$z^n = z_0$$

son los números:

$$c_k = \sqrt[n]{r_0} e^{i\left(\frac{\theta_0}{n} + \frac{2k\pi}{n}\right)}, k = 0, 1, \dots, n-1$$

De forma análoga a la raíz unidad, si  $c$  es una raíz  $n$ -ésimas de  $z_0$ , el conjunto de todas las raíces se escribe de la forma:

$$c, c\omega_n, c\omega_n^2, \dots, c\omega_n^{n-1}$$

# 8. Regiones del plano complejo

**Pizarra**

1. Expresar en forma binómica los números complejos

(a)  $\frac{3+5i}{2-i}$

(b)  $\frac{1+i^3}{(1+i)^3}$

2. Expresar en forma binómica la raíz

$$\sqrt{3-4i}$$

3. Halle todos los pares de números complejos que tengan igual parte imaginaria, y cuya suma y cuyo producto sean imaginarios puros.

4. Halle todos los números complejos  $z$  tales que:

$$z^3 z^* = -1$$

5. Encuentre los pares de números complejos cuya suma es  $-6i$  y su producto es  $6-8i$ .

6. Encuentre los pares de números complejos tales que su cociente es imaginario puro, su suma es 5 y el módulo de uno es el doble que el del otro.

7. Sabiendo que  $-i$  es una raíz del polinomio  $z^3 - (3-i)z^2 + (2-3i)z + 2i = 0$ , halle las raíces de  $z^3 - (3+i)z^2 + (2+3i)z + 2i = 0$ .

8. Pruebe la siguiente propiedad del argumento del producto de dos números complejos:

$$\arg(z_1 \cdot z_2) = \arg z_1 + \arg z_2$$

9. Represente en forma exponencial los números  $1+i$ ,  $1-i$ ,  $-1+i$ ,  $-1-i$ .

10. Expresar  $\cos 3\theta$  y  $\sin 3\theta$  en potencias de  $\cos \theta$  y  $\sin \theta$ .

11. Compruebe la siguiente propiedad: Dados dos números enteros  $m$  y  $n$  primos entre sí y un número complejo cualquiera, se cumple la siguiente relación:

$$z^{m/n} = (z^m)^{1/n} = \left(z^{1/n}\right)^m$$

12. Obtenga las raíces:  $(1-i)^{3/2}$

13. Demuestre que cualquier raíz  $n$ -ésima de la unidad distinta de  $w_0 = 1$  cumple la relación:

$$1 + w_k + w_k^2 + \dots + w_k^{n-1} = 0 \quad k = 1, 2, \dots, n-1$$

14. Calcule todos los números  $z \in \mathbb{C}$  tales que:

(a)  $|z-1| = |z-3|$

(b)  $|z-1| = \operatorname{Re}(z) + 1$

15. Para los siguientes conjuntos definidos en el plano complejo:

(a)  $|\arg z| \leq \frac{\pi}{4}$

(b)  $\operatorname{Re}^2(z) > 1$

Se pide:

(a) Dibujar el conjunto en el plano complejo

(b) Especificar si es abierto

(c) Especificar si es dominio

(d) Especificar si está acotado

(e) Describir la frontera del conjunto

16. A partir de la definición de  $e^z$ , demostrar que:

(a)  $e^{z+2\pi i} = e^z$

(b)  $(e^z)^n = e^{nz}$  para todo  $n \in \mathbb{N}$

(c)  $(e^{z+w}) = e^z$  para todo  $z \in \mathbb{C} \Rightarrow w = 2k\pi i$  con  $k = 0, \pm 1, \pm 2 \dots$

17. Compruebe que la función  $f(z) = e^z$  transforma la franja  $\{z = x + iy/x \geq 0, 0 \leq y \leq \pi\}$  en la zona del semiplano superior exterior a la circunferencia  $|w| = 1$ .

18. Partiendo de las definiciones de las funciones correspondientes, demostrar las siguientes identidades:

(a)  $\sin^2(z) + \cos^2(z) = 1$

(b)  $\cos(\frac{\pi}{2} - z) = \sin(z)$

(c)  $\sin(iz) = i \sinh(z) \quad \cos(iz) = \cosh(z)$

19. Calcule:

(a)  $\log(4 - 3i)$

(b)  $\log(-4 + 3i)$

20. Calcule:

(a)  $(-1)^i$



# Análisis de variable compleja

*Tema 2: Funciones, continuidad y derivación*

Grado en Ingeniería Aeroespacial

Dr. Eduardo del Arco Fernández



Universidad  
Rey Juan Carlos

Escuela Técnica Superior de Ingeniería de Telecomunicación

# Bibliografía

*Variable Compleja y Aplicaciones.* Ruel V. Churchill y James Word Brown. 4ª Edición. Libros McGraw-Hill de México

*Complex Analysis. An introduction to the Theory of Analytic Funciones of One Complex Variable.* Lars V. Ahlfors. Third Edition. McGraw-Hill, Inc.

# Donde estamos

Tema 0: Presentación

Tema 1: El Cuerpo de los Números Complejos

## **Tema 2: Funciones, continuidad y derivación**

- *Un poco más de topología*
- *Funciones complejas de variable compleja*
- *Aplicaciones*
- *Límites y continuidad*
- Derivación
- Ecuaciones de Cauchy-Riemann
- Funciones analíticas
- Funciones armónicas
- Transformación conforme

Tema 3: Integración de funciones complejas

# I. Un poco más de topología

**DEF:** Cierre de  $S$ . Es el conjunto cerrado que consiste de la unión de  $S$  y su frontera.

**OBS:** Hay conjuntos que no son ni abiertos ni cerrados:

- Para que un conjunto no sea abierto, debe existir un punto frontera contenido en el conjunto.
- Para que un conjunto no sea cerrado, debe existir un punto frontera no contenido en el conjunto.

$$\text{e.g.: } 0 < |z| \leq 1$$

**COR:** El conjunto de todos los números complejos es abierto y cerrado simultáneamente ya que no tiene puntos frontera.

**DEF:** Conexo. El conjunto  $S$  es abierto si cada par de puntos  $z_1$  y  $z_2$  pueden ser unidos en él mediante un camino poligonal consistente en un número finito de intervalos unidos en cadena, con todos sus puntos en  $S$ .

**DEF:** Dominio.  $S$  es dominio si es un conjunto abierto y conexo.

# I. Funciones complejas de variable compleja

**DEF:** Sea  $S$  un conjunto de números complejos. Una función  $f$  definida en  $S$  es una regla que asigna a cada  $z \in S$  un número complejo en  $w$ , de modo que:

$$w = f(z)$$

**DEF:** Función multivaluada. Regla que asigna más de un valor al punto  $z$  en el dominio de definición.

**e.g.:**  $w = \sqrt{z}$

$w$  es el valor de  $f$  en  $z$   
 $S$  es un dominio de definición

# I. Funciones complejas de variable compleja

**OBS:** ¿Podemos expresar una función  $f(z)$  como un par de funciones reales?  
veamos algunos ejemplos, a la pitagórica:

1.  $f(z) = z^2 \rightarrow f(z) = (x + iy)^2 = x^2 - y^2 + i2xy$   
de esta forma,  $f(z)$  se escribe como  $f(z) = u(x, y) + iv(x, y)$ , donde  $u$   
y  $v$  son dos funciones reales, tal que:  
 $u = x^2 - y^2$   
 $v = 2xy$

2.  $u(x, y) = y \int_0^{\infty} e^{-xt} dt$

$$v(x, y) = \sum_{n=0}^{\infty} y^n$$

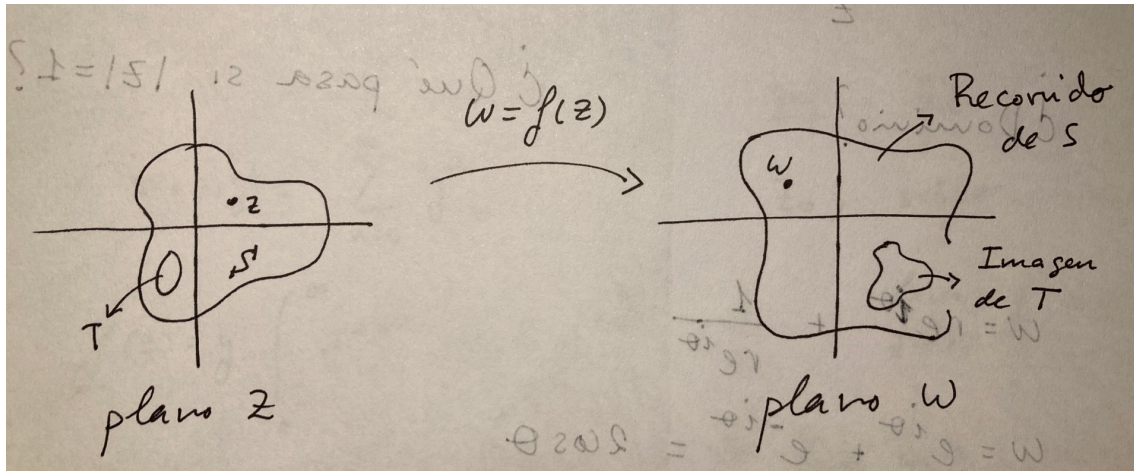
$$f(z) = y \int_0^{\infty} e^{-xt} dt + i \sum_{n=0}^{\infty} y^n$$

¿Cuál será el dominio en el ejemplo 2?

**COR:** Si en  $u(x, y) + iv(x, y)$ ,  $v(x, y) = 0$ ,  $f(z)$  es una función real

3.  $f(z) = |z|^2$

## 2. Aplicaciones o Mappings



**Ejemplos:** Traslaciones, rotaciones y reflexiones

1.  $w = z + 1$
2.  $w = iz$
3.  $w = z^*$
4.  $w = z + \frac{1}{z}$

En estos casos, conviene considerar el plano  $z$  y el plano  $w$  como el mismo plano

Este es un poco más complicado. Este mapping está pidiendo que lo expresen en polares...

### 3. Límites y continuidad

**DEF:** Sea  $f$  una función compleja de variable compleja definida en un entorno de  $z_0$ , salvo posiblemente el propio  $z_0$

$$\lim_{z \rightarrow z_0} f(z) = w_0$$

Para cada número positivo  $\varepsilon$  existe un número  $\delta$  tal que

$$|f(z) - w_0| < \varepsilon \Leftrightarrow 0 < |z - z_0| < \delta$$

**e.g.:**

$f(z) = i \frac{z}{2}$  en el disco abierto  $|z| < 1$

$$\lim_{z \rightarrow 1} f(z) = \frac{i}{2}$$

Vamos a ver que relación existe entre  $\varepsilon$  y  $\delta$ , por un lado:

$$\left| f(z) - \frac{i}{2} \right| = \left| \frac{iz}{2} - \frac{i}{2} \right| = \frac{|z - 1|}{2}$$

de modo que:

$$\frac{|z - 1|}{2} < \varepsilon \text{ para } 0 < |z - 1| < \delta \Leftrightarrow \delta = 2\varepsilon$$

Hay que repasar las propiedades del módulo



### 3. Límites y continuidad

**Cuestión 1:** Obtenga la relación entre  $\varepsilon$  y  $\delta$

- $\lim_{z \rightarrow 2i} (2x + iy^2) = 4i$
- $\lim_{z \rightarrow \infty} \frac{1}{z^2} = 0$
- $\lim_{z \rightarrow 0} = \infty$

# 3. Límites y continuidad

## Teoremas del límite

**Th 1:** Suponga que  $f(z) = u(x, y) + iv(x, y)$ , con  $z_0 = x_0 + iy_0$  y  $w_0 = u_0 + iv_0$ , entonces:

$$\lim_{z \rightarrow z_0} f(z) = w_0 \text{ sí y solo sí } \lim_{(x,y) \rightarrow (x_0,y_0)} u(x, y) = u_0 \text{ y } \lim_{(x,y) \rightarrow (x_0,y_0)} v(x, y) = v_0$$

**Th 2:** Suponga que  $\lim_{z \rightarrow z_0} f(z) = w_0$  y  $\lim_{z \rightarrow z_0} F(z) = W_0$ , entonces:

- $\lim_{z \rightarrow z_0} [f(z) + F(z)] = w_0 + W_0$
- $\lim_{z \rightarrow z_0} [f(z) \cdot F(z)] = w_0 \cdot W_0$
- $\lim_{z \rightarrow z_0} \frac{f(z)}{F(z)} = \frac{w_0}{W_0}$ , si  $W_0 \neq 0$

Consulten la demostración en los libros que hemos propuesto

Estas propiedades son muy útiles

# 3. Límites y continuidad

## Props: Propiedades derivadas del teorema 2

- $\lim_{z \rightarrow z_0} z = z_0 \Rightarrow \lim_{z \rightarrow z_0} z^n = z_0^n$
- $\lim_{z \rightarrow z_0} c = c$
- Si  $P(z) = a_0 + a_1z + \dots + a_nz^n$ , entonces  $\lim_{z \rightarrow z_0} P(z) = P(z_0)$
- Si  $\lim_{z \rightarrow z_0} f(z) = w_0 \Rightarrow \lim_{z \rightarrow z_0} |f(z)| = |w_0|$

Se deduce de la propiedad del producto de límites

Todo lo anterior, más la propiedad de la suma de límites

Esta propiedad es interesante y tiene que ver con la composición de funciones

# 3. Límites y continuidad

**DEF:** Una función  $f$  es continua en un punto  $z_0$  si se cumplen las tres condiciones:

- i.  $\exists \lim_{z \rightarrow z_0} f(z)$
- ii.  $\exists f(z_0)$
- iii.  $\lim_{z \rightarrow z_0} f(z) = f(z_0)$

La condición iii da por hecho que la i y la ii son ciertas...

El punto iii es equivalente a:

$$|f(z) - f(z_0)| < \varepsilon \Leftrightarrow |z - z_0| < \delta$$

**OBS:** Extensiones de esta definición y consecuencias del teorema 2:

- Una función es continua en una región  $R$  si es continua en cada punto de  $R$ .
- Si dos funciones son continuas, la suma y el producto de esas funciones también es continua.
- La composición de funciones continuas es continua.

# 3. Límites y continuidad

## Ejemplos:

1.  $f(z) = xy^2 + i(2x - y)$  es continua en todo  $\mathbb{C}$
2.  $f(z) = e^{xy} + i \sin(x^2 - 2xy^3)$  es continua  $\mathbb{C}$
3. Si  $f(z) = u(x, y) + iv(x, y)$  es continua, entonces  $\sqrt{[u(x, y)]^2 + [v(x, y)]^2}$  es continua también

Los resolvemos en la pizarra

# Análisis de variable compleja

*Tema 2: Funciones, continuidad y derivación*

Grado en Ingeniería Aeroespacial

Dr. Eduardo del Arco Fernández



Universidad  
Rey Juan Carlos

Escuela Técnica Superior de Ingeniería de Telecomunicación

# Bibliografía

*Variable Compleja y Aplicaciones.* Ruel V. Churchill y James Word Brown. 4ª Edición. Libros McGraw-Hill de México

*Complex Analysis. An introduction to the Theory of Analytic Funciones of One Complex Variable.* Lars V. Ahlfors. Third Edition. McGraw-Hill, Inc.

# Donde estamos

Tema 0: Presentación

Tema 1: El Cuerpo de los Números Complejos

## **Tema 2: Funciones, continuidad y derivación**

- Un poco más de topología
- Funciones complejas de variable compleja
- Aplicaciones
- Límites y continuidad
- *Derivación*
- *Ecuaciones de Cauchy-Riemann*
- Funciones analíticas
- Funciones armónicas
- Transformación conforme

Tema 3: Integración de funciones complejas



# 4. Derivación

**DEF:** Sea  $f$  una función cuyo dominio de definición contenga un entorno de un punto  $z_0$ . La derivada de  $f$  en  $z_0$ , escrita  $f'(z_0)$ , se define por la ecuación:

$$f'(z_0) = \lim_{z \rightarrow z_0} \frac{f(z) - f(z_0)}{z - z_0}$$

Suponiendo que el límite exista...

La función  $f$  se dice que es derivable en  $z_0$  cuando existe su derivada en  $z_0$ . Otra forma de expresar la derivada, muy habitual y útil, haciendo  $\Delta z = z - z_0$ :

$$f'(z_0) = \lim_{\Delta z \rightarrow 0} \frac{f(z_0 + \Delta z) - f(z_0)}{\Delta z}$$

Para referirnos a cualquier  $z_0$

Al considerar esta forma, sustituimos frecuentemente  $z_0$  por  $z$ , y hacemos

$\Delta w = f(z + \Delta z) - f(z)$ , de modo que:

$$f'(z) = \frac{dw}{dz} = \lim_{\Delta z \rightarrow 0} \frac{\Delta w}{\Delta z}$$

# 4. Derivación

El cálculo de derivadas es idéntico al habitual en  $\mathbb{R}$ .

Reglas básicas:

$$\cdot \frac{d}{dz}c = 0$$

$$\cdot \frac{d}{dz}z = 1$$

$$\cdot \frac{d}{dz} [cf(z)] = cf'(z)$$

$$\cdot \frac{d}{dz}z^n = nz^{n-1}$$

# 4. Derivación

El cálculo de derivadas es idéntico al habitual en  $\mathbb{R}$ . Reglas básicas:

- $\frac{d}{dz} [f(z) + F(z)] = f'(z) + F'(z)$
- $\frac{d}{dz} [f(z)F(z)] = f(z)F'(z) + f'(z)F(z)$
- $\frac{d}{dz} \left[ \frac{f(z)}{F(z)} \right] = \frac{f'(z)F(z) - f(z)F'(z)}{F(z)^2}, F(z) \neq 0$
- $F(z) = g[f(z)], F'(z_0) = g'[f(z_0)] f'(z_0)$

# 4. Derivación

El cálculo de derivadas es idéntico al habitual en  $\mathbb{R}$ . Composición:

- si  $F(z) = g[f(z)]$ , entonces:  $F'(z_0) = g'[f(z_0)] f'(z_0)$

- si  $w = f(z)$  y  $W = g(w)$ , entonces:  $\frac{dW}{dz} = \frac{dW}{dw} \frac{dw}{dz}$

**e.g.:**

$$\frac{d}{dz}(2z^2 + i)^5$$

$w = 2z^2 + i$  y  $W = w^5$ , entonces:

$$\frac{d}{dz}(2z^2 + i)^5 = 5w^4 4z = 20z(2z^2 + i)^4$$

Estas reglas serán de vital importancia cuando  $z_0$  sea un conjunto de puntos: una curva, trayectoria...

Esta es la Regla de la Cadena de toda la vida...

# 5. Ecuaciones de Cauchy-Riemann

## Proposición:

En momentos anteriores, hemos escrito la función como:

$$f(z) = u(x, y) + iv(x, y)$$

La derivada de  $f$  en  $z_0$ :

$$f'(z_0) = \lim_{\Delta z \rightarrow 0} \frac{f(z_0 + \Delta z) - f(z_0)}{\Delta z}$$

Sabemos que:

$$z_0 = x_0 + iy_0$$

$$\Delta z = \Delta x + i\Delta y$$

Reescribimos la derivada:

$$\operatorname{Re} [f'(z_0)] = \lim_{(\Delta x, \Delta y) \rightarrow (0,0)} \left[ \frac{u(x_0 + \Delta x, y_0 + \Delta y) - u(x_0, y_0)}{\Delta x + i\Delta y} \right]$$

$$\operatorname{Im} [f'(z_0)] = \lim_{(\Delta x, \Delta y) \rightarrow (0,0)} \left[ \frac{v(x_0 + \Delta x, y_0 + \Delta y) - v(x_0, y_0)}{\Delta x + i\Delta y} \right]$$

Ya podéis intuir por donde va la cosa...

# 5. Ecuaciones de Cauchy-Riemann

## Proposición:

Hacemos los límites en horizontal, haciendo  $\Delta y = 0$ :

En  $\mathbb{R}^2$  no es tan sencillo...

$$\operatorname{Re} [f'(z_0)]_{\Delta y=0} = \lim_{\Delta x \rightarrow 0} \left[ \frac{u(x_0 + \Delta x, y_0) - u(x_0, y_0)}{\Delta x} \right]$$

$$\operatorname{Im} [f'(z_0)]_{\Delta y=0} = \lim_{\Delta x \rightarrow 0} \left[ \frac{v(x_0 + \Delta x, y_0) - v(x_0, y_0)}{\Delta x} \right]$$

Esto es hacer la derivada parcial:

$$f'(z_0) = \frac{d}{dx} [u(x, y)]_{(x,y)=(x_0,y_0)} + i \frac{d}{dx} [v(x, y)]_{(x,y)=(x_0,y_0)}$$

Habitualmente se utiliza una notación más compacta:

$$f'(z_0) = u_x(x_0, y_0) + i v_x(x_0, y_0)$$

# 5. Ecuaciones de Cauchy-Riemann

## Proposición:

Hacemos los límites en vertical, haciendo  $\Delta x = 0$ :

$$\operatorname{Re} [f'(z_0)]_{\Delta x=0} = \lim_{\Delta y \rightarrow 0} \left[ \frac{u(x_0, y_0 + \Delta y) - u(x_0, y_0)}{i\Delta y} \right]$$

$$\operatorname{Im} [f'(z_0)]_{\Delta x=0} = \lim_{\Delta y \rightarrow 0} \left[ \frac{v(x_0, y_0 + \Delta y) - v(x_0, y_0)}{i\Delta y} \right]$$

Cuidado con la  $i$  dividiendo

Análogamente:

$$f'(z_0) = v_y(x_0, y_0) - iu_y(x_0, y_0)$$

Que puede escribirse como:

$$f'(z_0) = -i \left[ u_y(x_0, y_0) + iv_y(x_0, y_0) \right]$$

# 5. Ecuaciones de Cauchy-Riemann

## Proposición:

Igualando las dos formulaciones de  $f'(z_0)$ , obtenemos las

### ***Ecuaciones de Cauchy-Riemann***

$$u_x(x_0, y_0) = v_y(x_0, y_0)$$

$$u_y(x_0, y_0) = -v_x(x_0, y_0)$$

Unas ecuaciones  
fundamentales en  
INGENIERÍA y otras  
disciplinas científicas



# 5. Ecuaciones de Cauchy-Riemann

**Th:** Suponga que

$$f(z) = u(x, y) + iv(x, y)$$

y que

$$\exists f'(z_0) \text{ en } z_0 = x_0 + iy_0$$

entonces  $\Rightarrow$

Las derivadas parciales  $u_x(x_0, y_0)$ ,  $v_x(x_0, y_0)$ ,  $u_y(x_0, y_0)$ ,  $v_y(x_0, y_0)$  tienen que existir y tienen que satisfacer las

## ***Ecuaciones de Cauchy-Riemann***

$$u_x(x_0, y_0) = v_y(x_0, y_0)$$

$$u_y(x_0, y_0) = -v_x(x_0, y_0)$$

El recíproco no es cierto

## 5. Ecuaciones de Cauchy-Riemann

**e.g.:**  $f(z) = z^2 = x^2 - y^2 + i2xy$

$$u_x = 2x, v_x = 2y$$

$$u_y = -2y, v_y = 2x$$

cumple Cauchy-Riemann

**e.g.:**  $f(z) = |z|^2 = x^2 + y^2$

$$u_x = 2x, u_y = 2y$$

$$v_y = 0, v_x = 0$$

No se satisfacen las ec. de Cauchy-Riemann a menos que  $x = y = 0$

Las condiciones de Cauchy-Riemann (C-R) en  $z_0$  no bastan para asegurar la derivada en ese punto

Pero hay teoremas...  
muchos teoremas

# 5. Ecuaciones de Cauchy-Riemann

**Th:** Sea  $f(z) = u(x, y) + iv(x, y)$  y además

- i. Definida en un entorno de radio  $\varepsilon$  de un punto  $z_0 = x_0 + iy_0$ .
- ii. Existen  $u_x, u_y, v_x, v_y$  y son continuas en un radio  $\varepsilon$ .
- iii. Satisfacen C-R.

Entonces  $\Rightarrow$

EXISTE  $f'(z_0)$  en  $(x_0, y_0)$

El recíproco no es cierto

**e.g.:**  $f(z) = e^x (\cos y + i \sin y)$

$$u_x = e^x \cos y, v_x = e^x \sin y$$

$$u_y = -e^x \sin y, v_y = e^x \cos y$$

Son continuas y satisfacen C-R en todo  $\mathbb{C}$

$$f'(z) = u_x(x, y) + iv_y(x, y) = e^x (\cos y + i \sin y)$$

Y además  $f(z) = f'(z)$

# 5. Ecuaciones de Cauchy-Riemann

## Condiciones de Cauchy-Riemann en coordenadas polares

Si  $z_0 \neq 0$ , a veces conviene usar coordenadas polares

$$x = r \cos \theta$$

$$y = r \sin \theta$$

Condiciones de C-R en polares:

$$u_r = \frac{1}{r} v_\theta$$

$$\frac{1}{r} u_\theta = -v_r$$

**Th:** Sea  $f(z) = u(r, \theta) + iv(r, \theta)$  y además:

- i. Definida en un entorno de radio  $\varepsilon$  de un punto  $z_0 = r_0 (\cos \theta_0 + i \sin \theta_0)$ , distinto de 0.
- ii. Existen  $u_r, u_\theta, v_r, v_\theta$  y son continuas.
- iii. Satisfacen la forma polar de C-R.

Entonces  $\Rightarrow$  EXISTE  $f'(z_0)$  en  $(r_0, \theta_0)$

Atención a como está definida la función

El recíproco no es cierto

# 5. Ecuaciones de Cauchy-Riemann

e.g.:

$$f(z) = \frac{1}{z} = \frac{1}{re^{i\theta}}$$

$$u(r, \theta) = \frac{\cos \theta}{r}, v(r, \theta) = \frac{-\sin \theta}{r}$$

**Se cumple C-R** (compruébelo)

$$f'(z) = e^{-i\theta} \left( -\frac{\cos \theta}{r^2} + i \frac{\sin \theta}{r^2} \right) = -\frac{1}{z^2}$$

*¿y qué sucede en  $z=0$ ? En el próximo episodio...*

Grado en Ingeniería Aeroespacial en Vehículos Espaciales

## TEMA 1. INTRODUCCIÓN

Escuela Técnica Superior de Ingeniería de Telecomunicación  
Universidad Rey Juan Carlos

# Bibliografía

- 1 D. K. Cheng. *Fundamentos de electromagnetismo para ingenieros*. Ed.: Pearson-Addison Wesley. Tema 2.

# Índice

- 1 Álgebra vectorial
- 2 Sistemas de coordenadas
- 3 Campos escalares y vectoriales
- 4 Cálculo integral
- 5 Operadores espaciales



# Escalares y vectores

- Magnitudes electromagnéticas:

- ▶ **Escalares:** número (+ unidades )

- ★  $V_{ab} = 4 \text{ V}$ ,  $q = -1.6 \cdot 10^{-19} \text{ C}$ , ...

- ▶ **Vectores:** módulo + dirección + sentido (+ unidades)

- ★  $\vec{E} = 0.4\vec{u}_x \text{ V/m}$ ,  $\vec{F}_e = \frac{1}{4\pi\epsilon_0} \frac{q_1 q_2}{r^2} \vec{u}_r \text{ N}$ , ...

## Campo

*Distribución espacial de una magnitud (escalar o vectorial), que puede ser o no función del tiempo*

- $V_{ab}(x, y, z; t) = xy + ytz \text{ V}$
- $\vec{\mathbb{E}}(r, \theta, \phi) = \frac{\sin\theta}{r} e^{-j\beta r} \vec{u}_\phi \text{ V/m}$

# Nociones básicas de álgebra vectorial

- Sea el vector  $\vec{a}$   $\left\{ \begin{array}{l} \text{Módulo:} \quad |\vec{a}| = a \\ \text{Dirección y sentido:} \quad \vec{u}_a = \frac{\vec{a}}{|\vec{a}|} \end{array} \right.$

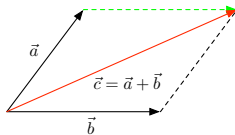
de tal forma que  $\boxed{\vec{a} = a\vec{u}_a}$

- En coordenadas cartesianas,  $\vec{a} = a_x\vec{u}_x + a_y\vec{u}_y + a_z\vec{u}_z$ 
  - ▶ **Módulo:**  $|\vec{a}| = \sqrt{a_x^2 + a_y^2 + a_z^2}$
  - ▶ **Dirección y sentido:**  $\vec{u}_a = \frac{\vec{a}}{|\vec{a}|} = \frac{a_x\vec{u}_x + a_y\vec{u}_y + a_z\vec{u}_z}{\sqrt{a_x^2 + a_y^2 + a_z^2}}$

# Suma y resta de vectores

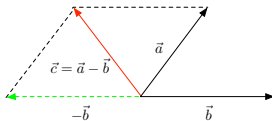
- Sean los vectores  $\vec{a} = a_x\vec{u}_x + a_y\vec{u}_y + a_z\vec{u}_z$  y  $\vec{b} = b_x\vec{u}_x + b_y\vec{u}_y + b_z\vec{u}_z$

- **Suma** de vectores:



$$\vec{c} = \vec{a} + \vec{b} = (a_x + b_x)\vec{u}_x + (a_y + b_y)\vec{u}_y + (a_z + b_z)\vec{u}_z$$

- **Resta** de vectores:



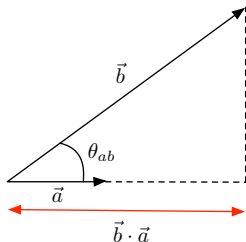
$$\vec{c} = \vec{a} - \vec{b} = (a_x - b_x)\vec{u}_x + (a_y - b_y)\vec{u}_y + (a_z - b_z)\vec{u}_z$$

# Producto escalar

- Sean los vectores  $\vec{a} = a_x \vec{u}_x + a_y \vec{u}_y + a_z \vec{u}_z$  y  $\vec{b} = b_x \vec{u}_x + b_y \vec{u}_y + b_z \vec{u}_z$

$$\vec{a} \cdot \vec{b} = |\vec{a}| |\vec{b}| \cos \theta_{ab} = a_x \cdot b_x + a_y \cdot b_y + a_z \cdot b_z$$

- El resultado es un **NÚMERO!!!**



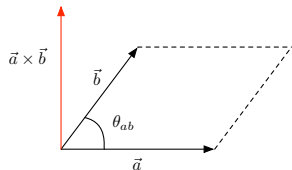
- ▶ Representa la proyección de un vector ( $\vec{b}$ ) sobre una dirección ( $\vec{a}$ ). Ej:  $\vec{b} \cdot \vec{u}_x = b_x$
- ▶ Si  $\vec{a} \perp \vec{b}$ , entonces  $\theta_{ab} = \pi/2 \rightarrow \vec{a} \cdot \vec{b} = 0$
- ▶ Conmutativa:  $\vec{a} \cdot \vec{b} = \vec{b} \cdot \vec{a}$
- ▶ Distributiva:  $\vec{a} \cdot (\vec{b} + \vec{c}) = \vec{a} \cdot \vec{b} + \vec{a} \cdot \vec{c}$

# Producto vectorial

- Sean los vectores  $\vec{a} = a_x\vec{u}_x + a_y\vec{u}_y + a_z\vec{u}_z$  y  $\vec{b} = b_x\vec{u}_x + b_y\vec{u}_y + b_z\vec{u}_z$

$$\vec{a} \times \vec{b} = |\vec{a}||\vec{b}| \sin \theta_{ab} \vec{u}_n$$

- El resultado es un **VECTOR!!!**



- ▶ Módulo:  $|\vec{a} \times \vec{b}| = |\vec{a}||\vec{b}| \sin \theta_{ab}$
- ▶ Dirección: perpendicular al plano formado por  $\vec{a}$  y  $\vec{b}$
- ▶ Sentido: regla del sacacorchos

# Producto vectorial

- Sean los vectores  $\vec{a} = a_x\vec{u}_x + a_y\vec{u}_y + a_z\vec{u}_z$  y  $\vec{b} = b_x\vec{u}_x + b_y\vec{u}_y + b_z\vec{u}_z$
- En coordenadas cartesianas el producto escalar puede calcularse a partir del determinante:

$$\begin{aligned}\vec{a} \times \vec{b} &= \begin{vmatrix} \vec{u}_x & \vec{u}_y & \vec{u}_z \\ a_x & a_y & a_z \\ b_x & b_y & b_z \end{vmatrix} \\ &= (a_y b_z - b_y a_z)\vec{u}_x + (a_x b_z - b_x a_z)\vec{u}_y + (a_x b_y - b_x a_y)\vec{u}_z\end{aligned}$$

- Propiedades:
  - ▶ Anticonmutativa:  $\vec{a} \times \vec{b} = -\vec{b} \times \vec{a}$ .
  - ▶ Distributiva:  $\vec{a} \times (\vec{b} + \vec{c}) = \vec{a} \times \vec{b} + \vec{a} \times \vec{c}$ .
  - ▶  $\vec{a} \times \vec{a} = 0$ .

# Índice

- 1 Álgebra vectorial
- 2 Sistemas de coordenadas**
- 3 Campos escalares y vectoriales
- 4 Cálculo integral
- 5 Operadores espaciales

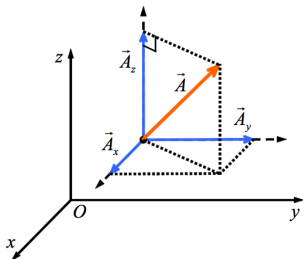
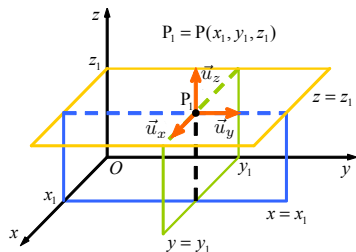
# Sistemas de coordenadas

Dependiendo de la geometría del problema a resolver se utilizará uno de los siguientes sistemas de coordenadas:

- Coordenadas cartesianas:  $(x, y, z)$
- Coordenadas cilíndricas:  $(\rho, \phi, z)$
- Coordenadas esféricas:  $(r, \theta, \phi)$



# Coordenadas cartesianas



- Un **punto**  $P$  está determinado por la intersección de tres planos perpendiculares:

$$x = x_1 = \text{cte}$$

$$y = y_1 = \text{cte}$$

$$z = z_1 = \text{cte}$$

- Coordenadas:  $P_1 = P(x_1, y_1, z_1)$

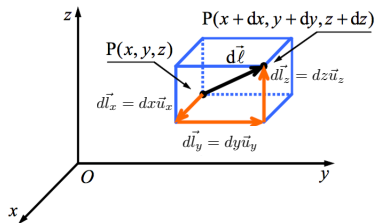
- Un **vector**  $\vec{A}$  puede representarse como:

$$\begin{aligned}\vec{A} &= \vec{A}_x + \vec{A}_y + \vec{A}_z \\ &= A_x \vec{u}_x + A_y \vec{u}_y + A_z \vec{u}_z\end{aligned}$$

# Coordenadas cartesianas

- **Diferencial de longitud:** desplazamientos diferenciales en cada una de las direcciones

$$P(x, y, z) \rightarrow P(x + dx, y + dy, z + dz)$$

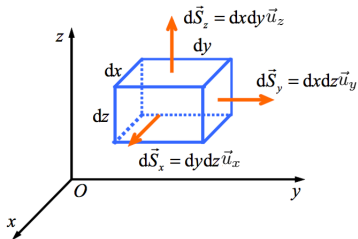


- $P(x, y, z) \rightarrow P(x + dx, y, z) \Rightarrow d\vec{l}_x = dx\vec{u}_x$
- $P(x, y, z) \rightarrow P(x, y + dy, z) \Rightarrow d\vec{l}_y = dy\vec{u}_y$
- $P(x, y, z) \rightarrow P(x, y, z + dz) \Rightarrow d\vec{l}_z = dz\vec{u}_z$

$$d\vec{l} = d\vec{l}_x + d\vec{l}_y + d\vec{l}_z = dx\vec{u}_x + dy\vec{u}_y + dz\vec{u}_z$$

# Coordenadas cartesianas

- **Diferencial de superficie:** los desplazamientos generan distintas superficies diferenciales, que pueden caracterizarse como:



- $x = \text{cte.} : d\vec{S}_x = dydz\vec{u}_x$
- $y = \text{cte.} : d\vec{S}_y = dx dz\vec{u}_y$
- $z = \text{cte.} : d\vec{S}_z = dx dy\vec{u}_z$

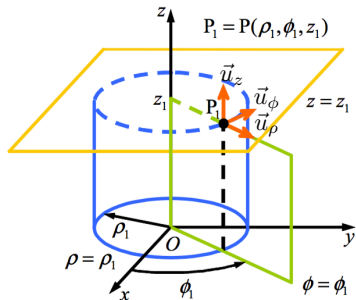
$$d\vec{S} = dydz\vec{u}_x + dx dz\vec{u}_y + dx dy\vec{u}_z$$

- **Diferencial de volumen:** los movimientos infinitesimales definen un volumen infinitesimal

$$dv = dx dy dz$$

Nótese que  $dv$  es un **escalar**

# Coordenadas cilíndricas



- Un punto  $P$  está determinado por la intersección de tres superficies:

$$\rho = \rho_1 = \text{cte}, \quad (0 \leq \rho < \infty)$$

$$\phi = \phi_1 = \text{cte}, \quad (0 \leq \phi \leq 2\pi)$$

$$z = z_1 = \text{cte}, \quad (-\infty < z < \infty)$$

- Coordenadas:  $P_1 = P(\rho_1, \phi_1, z_1)$

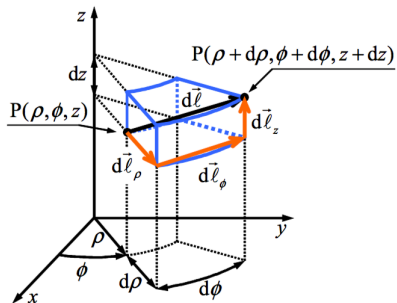
- Un vector  $\vec{A}$  puede representarse en coordenadas cilíndricas como:

$$\begin{aligned}\vec{A} &= \vec{A}_\rho + \vec{A}_\phi + \vec{A}_z \\ &= A_\rho \vec{u}_\rho + A_\phi \vec{u}_\phi + A_z \vec{u}_z\end{aligned}$$

# Coordenadas cilíndricas

- **Diferencial de longitud:** desplazamientos diferenciales en cada una de las direcciones

$$P(\rho, \phi, z) \rightarrow P(\rho + d\rho, \phi + d\phi, z + dz)$$

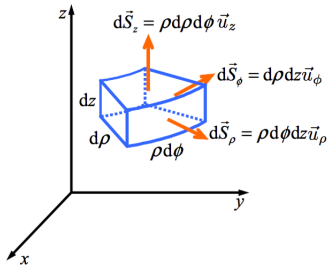


- $d\vec{l}_\rho = d\rho\vec{u}_\rho$
- $d\vec{l}_\phi = \rho d\phi\vec{u}_\phi$  (arco de circunferencia!)
- $d\vec{l}_z = dz\vec{u}_z$

$$d\vec{l} = d\vec{l}_\rho + d\vec{l}_\phi + d\vec{l}_z = d\rho\vec{u}_\rho + \rho d\phi\vec{u}_\phi + dz\vec{u}_z$$

# Coordenadas cilíndricas

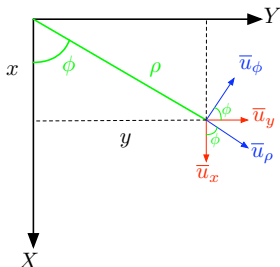
- **Diferencial de superficie:**  $d\vec{S} = \rho d\phi dz \vec{u}_\rho + d\rho dz \vec{u}_\phi + \rho d\rho d\phi \vec{u}_z$



- $\rho = \text{cte.} : d\vec{S}_\rho = \rho d\phi dz \vec{u}_\rho$
- $\phi = \text{cte.} : d\vec{S}_\phi = d\rho dz \vec{u}_\phi$
- $z = \text{cte.} : d\vec{S}_z = \rho d\rho d\phi \vec{u}_z$

- **Diferencial de volumen:**  $dv = \rho d\rho d\phi dz$

# Relación coordenadas cartesianas-cilíndricas



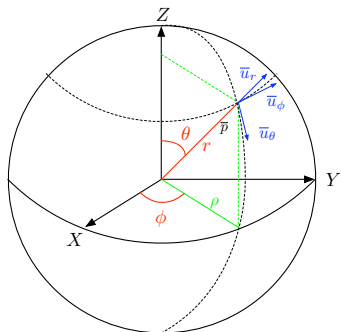
## Coordenadas

- $x = \rho \cos \phi$ ,  $y = \rho \sin \phi$ ,  $z = z$ .
- $\rho = \sqrt{x^2 + y^2}$ ,  $\phi = \arctan\left(\frac{y}{x}\right)$ ,  
 $z = z$ .

## Vectores unitarios

	$\vec{u}_x$	$\vec{u}_y$	$\vec{u}_z$
$\vec{u}_\rho$	$\cos \phi$	$\sin \phi$	0
$\vec{u}_\phi$	$-\sin \phi$	$\cos \phi$	0
$\vec{u}_z$	0	0	1

# Coordenadas esféricas



- Un punto  $P$  está determinado por la intersección de tres superficies:

$$r = r_1 = \text{cte}, \quad (0 \leq r < \infty)$$

$$\theta = \theta_1 = \text{cte}, \quad (0 \leq \theta \leq \pi)$$

$$\phi = \phi_1 = \text{cte}, \quad (0 \leq \phi \leq 2\pi)$$

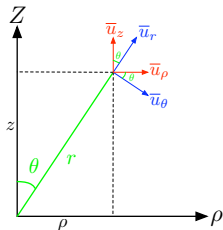
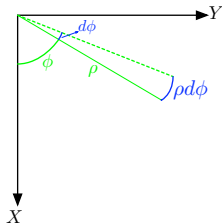
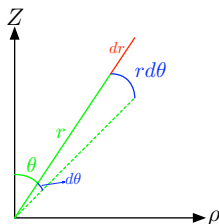
- Coordenadas:  $P_1 = P(r_1, \theta_1, \phi_1)$

- Un vector  $\vec{A}$  puede representarse en coordenadas esféricas como:

$$\begin{aligned}\vec{A} &= \vec{A}_r + \vec{A}_\theta + \vec{A}_\phi \\ &= A_r \vec{u}_r + A_\theta \vec{u}_\theta + A_\phi \vec{u}_\phi\end{aligned}$$



# Coordenadas esféricas



$$\rho d\phi = r \sin \theta d\phi$$

- Diferencial de línea: 
$$d\vec{l} = dr \cdot \vec{u}_r + r d\theta \cdot \vec{u}_\theta + r \sin \theta d\phi \cdot \vec{u}_\phi$$

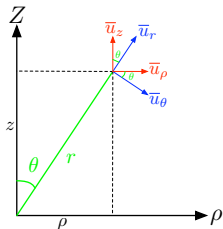
- Diferencial de superficie:

$$d\vec{S} = \underbrace{r^2 \sin \theta d\theta d\phi \cdot \vec{u}_r}_{r=\text{cte.}} + \underbrace{r \sin \theta dr d\phi \cdot \vec{u}_\theta}_{\theta=\text{cte.}} + \underbrace{r dr d\theta \cdot \vec{u}_\phi}_{\phi=\text{cte.}}$$

- Diferencial de volumen: 
$$dv = r^2 \sin \theta dr d\theta d\phi$$

# Relación coordenadas cartesianas-cilíndricas-esféricas

## • Cilíndricas-esféricas

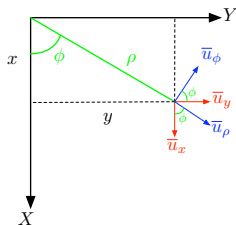


$$z = r \cos \theta$$

$$\rho = r \operatorname{sen} \theta$$

$$\phi = \phi$$

## • Cilíndricas-cartesianas



$$x = \rho \cos \phi$$

$$y = \rho \operatorname{sen} \phi$$

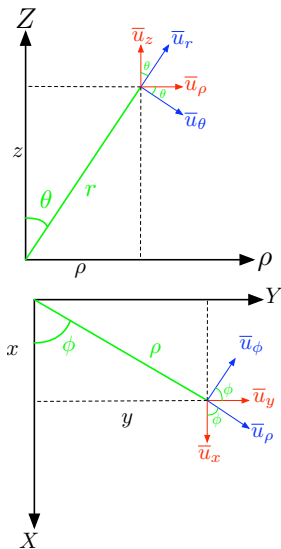
$$z = z$$

$$x = r \operatorname{sen} \theta \cos \phi$$

$$y = r \operatorname{sen} \theta \operatorname{sen} \phi$$

$$z = r \cos \theta$$

# Relación vectores unitarios



## cilíndricas-esféricas

	$\vec{u}_\rho$	$\vec{u}_\phi$	$\vec{u}_z$
$\vec{u}_r$	$\sin \theta$	0	$\cos \theta$
$\vec{u}_\theta$	$\cos \theta$	0	$-\sin \theta$
$\vec{u}_\phi$	0	1	0

## cartesianas-esféricas

	$\vec{u}_x$	$\vec{u}_y$	$\vec{u}_z$
$\vec{u}_r$	$\sin \theta \cos \phi$	$\sin \theta \sin \phi$	$\cos \theta$
$\vec{u}_\theta$	$\cos \theta \cos \phi$	$\cos \theta \sin \phi$	$-\sin \theta$
$\vec{u}_\phi$	$-\sin \phi$	$\cos \phi$	0

# Índice

- 1 Álgebra vectorial
- 2 Sistemas de coordenadas
- 3 Campos escalares y vectoriales**
- 4 Cálculo integral
- 5 Operadores espaciales

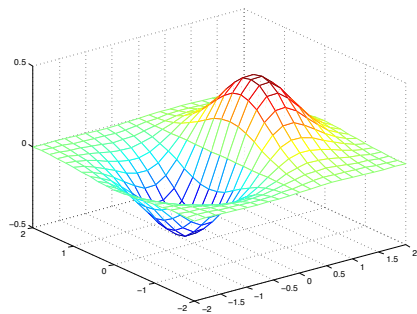
# Campo escalar

- Se define **campo escalar**  $U$  como una función escalar que asocia a cada punto del espacio  $\vec{r}$  un escalar:

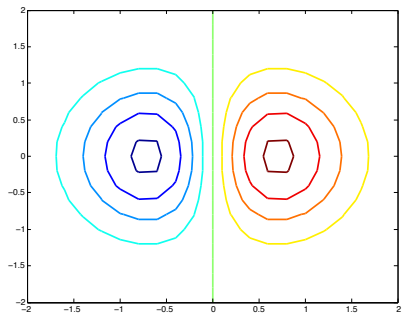
$$U : \mathbb{R}^3 \rightarrow \mathbb{R}$$

- Notación:  $U \equiv U(\vec{r}) \equiv U(x, y, z) \equiv U(\rho, \phi, z) \equiv U(r, \theta, \phi)$
- Puede ser o no función del tiempo:  $U(\vec{r}, t)$
- Ejemplos:
  - ▶  $T(x, y, z)$ , temperatura en el aula.
  - ▶  $A(x, y)$  : altitud geográfica.
  - ▶  $V(x, y, z)$  : potencial eléctrico.
- Representación: superficies equiescalares tales que  $U(\vec{r}) = \text{cte.}$

# Representación campo escalar



$U(x, y, z)$



$U(x, y, z) = \text{cte}$

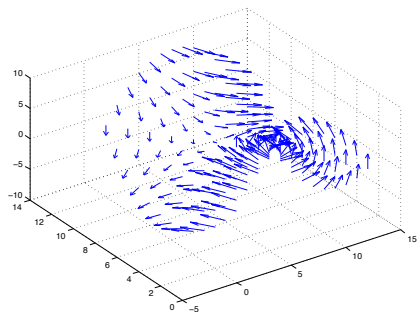
# Campo vectorial

- Se define **campo vectorial**  $\vec{A}$  como una función vectorial que asocia a cada punto del espacio  $\vec{r}$  un vector:

$$\psi : \mathbb{R}^3 \rightarrow \mathbb{R}^3$$

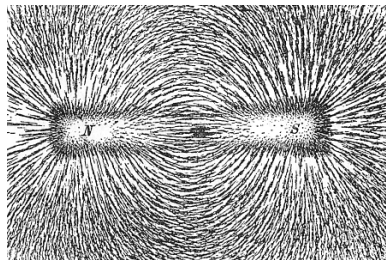
- Notación:  $\vec{A} \equiv \vec{A}(\vec{r}) \equiv \vec{A}(x, y, z) \equiv \vec{A}(\rho, \phi, z) \equiv \vec{A}(r, \theta, \phi)$
- Puede ser o no función del tiempo:  $\vec{A}(\vec{r}, t)$
- Ejemplos:
  - ▶  $\vec{A}(x, y, z) = xy\vec{u}_x - y^2\vec{u}_y + xz\vec{u}_z$
  - ▶ Campo gravitatorio terrestre
  - ▶ Campos eléctrico y magnético
- Representación: líneas de campo

# Representación campo vectorial



Campo de velocidades

$$\vec{V}(x, y, z)$$



Campo magnético

$$\vec{B}(x, y)$$

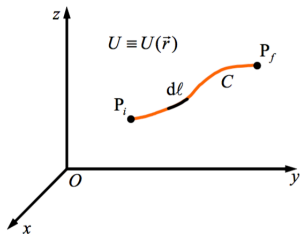


# Índice

- 1 Álgebra vectorial
- 2 Sistemas de coordenadas
- 3 Campos escalares y vectoriales
- 4 Cálculo integral**
- 5 Operadores espaciales

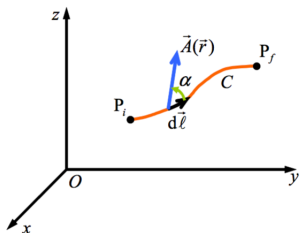
# Integral de línea

- de un **campo escalar**  $U$  a lo largo de una curva  $C$



$$\int_{P_i}^{P_f} U dl = \lim_{\Delta l_n \rightarrow 0} \sum_{n=1}^{\infty} U_n \Delta l_n = k$$

- de un **campo vectorial**  $\vec{A}$  a lo largo de una curva  $C$

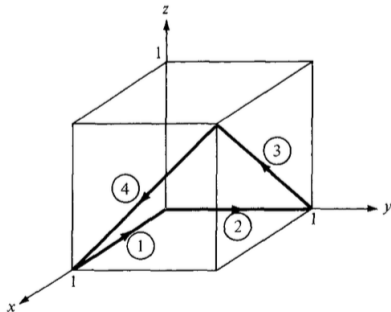


$$\int_{P_i}^{P_f} \vec{A} \cdot d\vec{l} = \lim_{\Delta \vec{l}_n \rightarrow 0} \sum_{n=1}^{\infty} \vec{A}_n \cdot \Delta \vec{l}_n = k$$

- circulación:  $\oint_C \vec{A} \cdot d\vec{l}$
- $d\vec{l}$  siempre positivo. Sentido en límites de integración

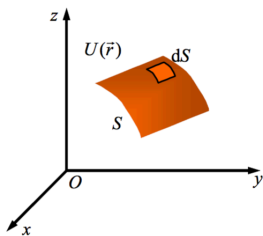
## Ejemplo

Calcule la circulación de  $\vec{F} = x^2\vec{u}_x - xy\vec{u}_y - y^2\vec{u}_z$  a lo largo del camino de la figura



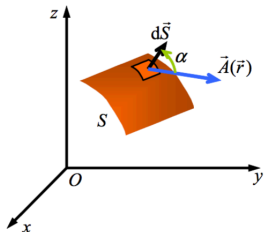
# Integral de superficie

- de un **campo escalar**  $U$  en la superficie  $S$



$$\iint_S U dS = \lim_{\Delta S_n \rightarrow 0} \sum_{n=1}^{\infty} U_n \Delta S_n$$

- de un **campo vectorial**  $\vec{A}$  en la superficie  $S$  se denomina **flujo**



$$\Phi = \iint_S \vec{A} \cdot d\vec{s}$$

- Flujo mide la **fuerza** de un campo
- Convenio:  $d\vec{s}$  sentido hacia fuera de una superficie cerrada (encierra un volumen)

## Ejemplo

Calcule, por integración directa:

- 1 El área lateral de un cilindro de radio  $R$  y altura  $L$
- 2 El área de una esfera de radio  $R$

# Integral de volumen

- de un **campo escalar**  $U$  en un volumen  $V$

$$\iiint_V U dv = \lim_{\Delta v_n \rightarrow 0} \sum_{n=1}^{\infty} U_n \Delta v_n$$

- de un **campo vectorial**  $\vec{A}$  en un volumen  $V$

$$\iiint_V \vec{A} \cdot dv = \lim_{\Delta v_n \rightarrow 0} \sum_{n=1}^{\infty} \vec{A}_n \Delta v_n$$

- ▶ Integral poco habitual
- ▶ El resultado es un **vector**

## Ejemplo

Calcule, por integración directa, el volumen de:

- 1 Un cilindro de radio  $R$  y altura  $L$
- 2 Una esfera de radio  $R$

# Índice

- 1 Álgebra vectorial
- 2 Sistemas de coordenadas
- 3 Campos escalares y vectoriales
- 4 Cálculo integral
- 5 Operadores espaciales**



# Operadores espaciales

## Operador naba (coord. cartesianas)

$$\nabla = \frac{\partial}{\partial x} \vec{u}_x + \frac{\partial}{\partial y} \vec{u}_y + \frac{\partial}{\partial z} \vec{u}_z$$

- 1 **Gradiente:**  $\nabla U \rightarrow$  vector
- 2 **Divergencia:**  $\nabla \cdot \vec{A} \rightarrow$  escalar
- 3 **Rotacional:**  $\nabla \times \vec{A} \rightarrow$  vector
- 4 **Laplaciano:**
  - ▶ Campo escalar:  $\nabla^2 U = \nabla \cdot \nabla U$ 
    - ★ En cartesianas:  $\frac{\partial^2 U}{\partial x^2} + \frac{\partial^2 U}{\partial y^2} + \frac{\partial^2 U}{\partial z^2}$
  - ▶ Campo vectorial:  $\nabla^2 \vec{A} = \nabla(\nabla \cdot \vec{A}) - \nabla \times (\nabla \times \vec{A})$ 
    - ★ En cartesianas:  $(\nabla^2 A_x, \nabla^2 A_y, \nabla^2 A_z)$

# Operador nabra

- Coordenadas cartesianas

$$\nabla = \frac{\partial}{\partial x} \vec{u}_x + \frac{\partial}{\partial y} \vec{u}_y + \frac{\partial}{\partial z} \vec{u}_z$$

- Coordenadas cilíndricas

$$\nabla = \frac{\partial}{\partial \rho} \vec{u}_\rho + \frac{1}{\rho} \frac{\partial}{\partial \phi} \vec{u}_\phi + \frac{\partial}{\partial z} \vec{u}_z$$

- Coordenadas esféricas

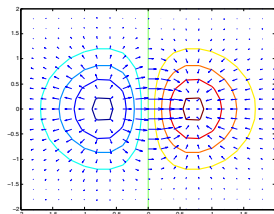
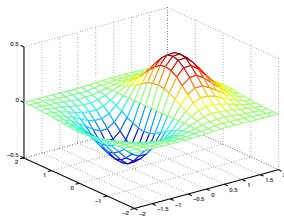
$$\nabla = \frac{\partial}{\partial r} \vec{u}_r + \frac{1}{r} \frac{\partial}{\partial \theta} \vec{u}_\theta + \frac{1}{r \sin \theta} \frac{\partial}{\partial \phi} \vec{u}_\phi$$

# Gradiente

## Definición matemática, en cartesianas

$$\nabla U = \frac{\partial U}{\partial x} \vec{u}_x + \frac{\partial U}{\partial y} \vec{u}_y + \frac{\partial U}{\partial z} \vec{u}_z$$

- Intuición: máxima derivada direccional en el punto considerado
  - ▶ Dirección: en la que  $U$  crece más rápidamente.
  - ▶ Módulo: representa el ritmo de variación de  $U$  en la dirección de dicho vector gradiente



- En otra dirección  $d\vec{l}$ , la tasa de variación de  $U$  es:  $dU = \nabla U \cdot d\vec{l}$

# Gradiente

- Coordenadas cartesianas

$$\nabla U = \frac{\partial U}{\partial x} \vec{u}_x + \frac{\partial U}{\partial y} \vec{u}_y + \frac{\partial U}{\partial z} \vec{u}_z$$

- Coordenadas cilíndricas

$$\nabla U = \frac{\partial U}{\partial \rho} \vec{u}_\rho + \frac{1}{\rho} \frac{\partial U}{\partial \phi} \vec{u}_\phi + \frac{\partial U}{\partial z} \vec{u}_z$$

- Coordenadas esféricas

$$\nabla U = \frac{\partial U}{\partial r} \vec{u}_r + \frac{1}{r} \frac{\partial U}{\partial \theta} \vec{u}_\theta + \frac{1}{r \operatorname{sen} \theta} \frac{\partial U}{\partial \phi} \vec{u}_\phi$$

## Ejemplo

Calcule el gradiente de los siguientes campos escalares:

①  $V = e^{-z} \sin 2x \cos y$

②  $U = \rho^2 z \cos 2\phi$

③  $W = 10r \sin^2 \theta \cos \phi$

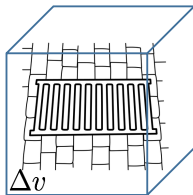
# Divergencia

## Definición matemática

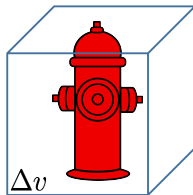
$$\nabla \cdot \vec{A} = \lim_{\Delta v \rightarrow 0} \frac{\oint_S \vec{A} \cdot d\vec{S}}{\Delta v}$$

• Intuición: fuentes y/o sumideros de un campo.

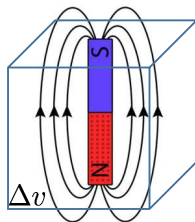
- ▶  $\nabla \cdot \vec{A} > 0 \rightarrow$  fuente
- ▶  $\nabla \cdot \vec{A} < 0 \rightarrow$  sumidero
- ▶  $\nabla \cdot \vec{A} = 0 \rightarrow$  campo **solenoidal**: líneas de campo cerradas



$$\nabla \cdot \vec{A} < 0$$



$$\nabla \cdot \vec{A} > 0$$



$$\nabla \cdot \vec{A} = 0$$

# Divergencia

- Coordenadas cartesianas

$$\nabla \cdot \vec{A} = \frac{\partial A_x}{\partial x} + \frac{\partial A_y}{\partial y} + \frac{\partial A_z}{\partial z}$$

- Coordenadas cilíndricas

$$\nabla \cdot \vec{A} = \frac{1}{\rho} \frac{\partial(\rho \cdot A_\rho)}{\partial \rho} + \frac{1}{\rho} \frac{\partial A_\phi}{\partial \phi} + \frac{\partial A_z}{\partial z}$$

- Coordenadas esféricas

$$\nabla \cdot \vec{A} = \frac{1}{r^2} \frac{\partial(r^2 A_r)}{\partial r} + \frac{1}{r \sin \theta} \frac{\partial(\sin \theta A_\theta)}{\partial \theta} + \frac{1}{r \sin \theta} \frac{\partial A_\phi}{\partial \phi}$$

## Teorema de la divergencia

$$\oint_S \vec{A} \cdot d\vec{S} = \int_v (\nabla \cdot \vec{A}) dv$$

## Ejemplo

Sea el campo

$$\vec{G} = 10e^{-2z}(\rho\vec{u}_\rho + \vec{u}_z)$$

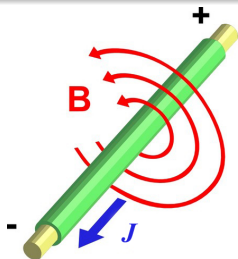
Determine el flujo de  $\vec{G}$  en la superficie del cilindro de radio  $R = 1$ , y de altura  $0 \leq z \leq 1$ . Confirme el resultado utilizando el teorema de la divergencia



## Definición matemática

$$\nabla \times \vec{A} = \left( \lim_{\Delta S \rightarrow 0} \frac{\oint_L \vec{A} \cdot d\vec{l}}{\Delta S} \right) \vec{u}_n$$

- Intuición: tendencia de un campo a inducir rotaciones alrededor de un punto
- Propiedades:
  - ▶  $\nabla \cdot (\nabla \times \vec{A}) = 0$ .
  - ▶  $\nabla \times \nabla U = 0$ .



# Rotacional

- Coordenadas cartesianas

$$\nabla \times \vec{A} = \begin{vmatrix} \bar{u}_x & \bar{u}_y & \bar{u}_z \\ \frac{\partial}{\partial x} & \frac{\partial}{\partial y} & \frac{\partial}{\partial z} \\ A_x & A_y & A_z \end{vmatrix}$$

- Coordenadas cilíndricas

$$\nabla \times \vec{A} = \frac{1}{\rho} \begin{vmatrix} \bar{u}_\rho & \rho \bar{u}_\phi & \bar{u}_z \\ \frac{\partial}{\partial \rho} & \frac{\partial}{\partial \phi} & \frac{\partial}{\partial z} \\ A_\rho & \rho A_\phi & A_z \end{vmatrix}$$

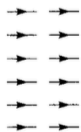
- Coordenadas esféricas

$$\nabla \times \vec{A} = \frac{1}{r^2 \sin \theta} \begin{vmatrix} \bar{u}_r & r \bar{u}_\theta & r \sin \theta \bar{u}_\phi \\ \frac{\partial}{\partial r} & \frac{\partial}{\partial \theta} & \frac{\partial}{\partial \phi} \\ A_r & r A_\theta & r \sin \theta A_\phi \end{vmatrix}$$

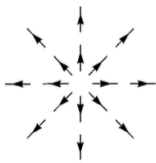
## Teorema de Stokes

$$\oint_C \vec{A} \cdot d\vec{l} = \int_S (\nabla \times \vec{A}) \cdot d\vec{S}$$

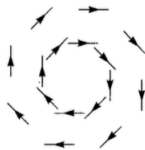
- Clasificación de los campos vectoriales
  - ▶ Un campo vectorial  $\vec{A}$  se dice **solenoidal** si  $\nabla \cdot \vec{A} = 0$ .
  - ▶ Un campo vectorial  $\vec{A}$  se dice **irrotacional** si  $\nabla \times \vec{A} = 0$ .



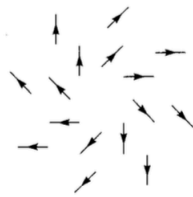
(a)



(b)



(c)



(d)

## Check your understanding

Las anteriores figuras muestran las líneas de un campo  $\vec{A}$ . Identifique cuál de las siguientes situaciones se corresponden con las anteriores figuras:

- 1  $\nabla \cdot \vec{A} = 0, \nabla \times \vec{A} \neq 0$
- 2  $\nabla \cdot \vec{A} = 0, \nabla \times \vec{A} = 0$
- 3  $\nabla \cdot \vec{A} \neq 0, \nabla \times \vec{A} \neq 0$
- 4  $\nabla \cdot \vec{A} \neq 0, \nabla \times \vec{A} = 0$

Grado en Ingeniería Aeroespacial en Vehículos Aeroespaciales

## TEMA 2. LEYES GENERALES DEL CAMPO ELECTROMAGNÉTICO

Escuela Técnica Superior de Ingeniería de Telecomunicación  
Universidad Rey Juan Carlos

# Bibliografía

- 1 J. Fraile Mora. *Electromagnetismo y circuitos eléctricos*. Ed.: Mc Graw Hill. Capítulo 1.

# Índice

- 1 Magnitudes fundamentales:  $\rho_v, \vec{E}, \vec{J}, \vec{D}, \vec{B}, \vec{H}$
- 2 Ley de conservación de la carga
- 3 Ecuaciones de Maxwell

# Carga eléctrica

- Fenómenos electromagnéticos  $\longleftrightarrow$  presencia de cargas o cargas en mvto.
- Carga eléctrica:  $q$ 
  - ▶ (+), (-)
  - ▶ Unidades:  $[C] = [A \cdot s]$
  - ▶ Cuantizada:  $Q = \pm N \cdot e$ , con  $N \in \mathbb{N}$  y  $e^- = 1.6 \cdot 10^{-16} \text{ C}$
  - ▶ *Ley de conservación de la carga*



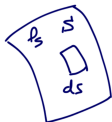
# Densidad de carga

- A nivel macroscópico consideramos la carga una magnitud continua que depende de la posición  $\rightarrow$  campo escalar
- Esta carga puede distribuirse en un **volumen**



$$\rho_v = \frac{dq}{dv} \left[ \frac{\text{C}}{\text{m}^3} \right] \rightarrow q = \int_V \rho_v dv$$

- en una **superficie**



$$\rho_s = \frac{dq}{ds} \left[ \frac{\text{C}}{\text{m}^2} \right] \rightarrow q = \int_S \rho_s ds$$

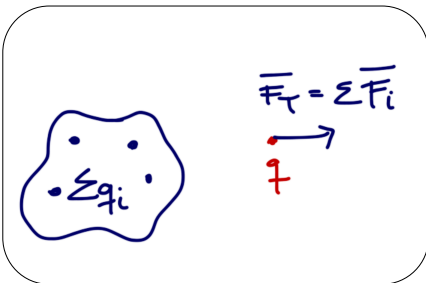
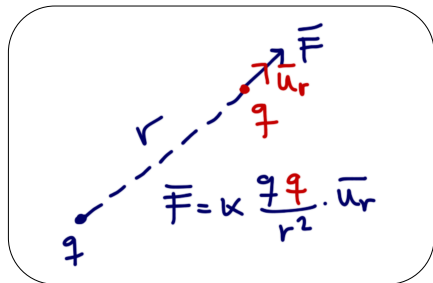
- o en un **filamento**



$$\rho_l = \frac{dq}{dl} \left[ \frac{\text{C}}{\text{m}} \right] \rightarrow q = \int_L \rho_l dl$$

# Ley de Coulomb

- Si se tiene un conjunto de cargas eléctricas  $\sum_i q_i$  y se coloca una *pequeña* carga de prueba inmóvil  $q$  en esa región  $\rightarrow$  aparece sobre ella una fuerza  $\vec{F}$



# Campo eléctrico $\vec{E}$

- $\vec{F} \propto \vec{q} \Rightarrow \frac{\vec{F}}{q}$  es **invariante** (sólo depende  $\sum_i q_i$ ) y representa una **propiedad local** del espacio.

$$\vec{E} = \frac{\vec{F}}{q}, \quad \left[ \frac{\text{N}}{\text{C}} = \frac{\text{V}}{\text{m}} \right]$$

- Propiedades

- ▶  $\vec{E} \propto \vec{F} \rightarrow$  misma dirección y sentido
- ▶  $\vec{E} \equiv \vec{E}(\vec{r})$ , es un campo vectorial
- ▶ Cargas  $\sum q_i$  son las fuentes del campo

$$\sum_i q_i \quad \longrightarrow \quad \vec{E} \quad \longleftrightarrow \quad q$$

(FUENTE)                      (CAMPO)                      (FUERZA)

# Densidad de corriente $\vec{J}$

- Mvto. cargas eléctricas  $\rightarrow$  corriente eléctrica
- Si  $\rho_v$  se mueve a  $\vec{v}(\vec{r}, t)$  (carga libre), se define la **densidad de corriente**

$$\vec{J}(\vec{r}) = \rho_v \vec{v} \quad \left[ \frac{\text{A}}{\text{m}^2} \right]$$

- Medios que contienen carga libre:
  - ▶ metales (conducción de los  $e^-$ )
  - ▶ semiconductores ( $e^-$  libres y huecos)
  - ▶ sales en solución (electrolitos: iones  $+$  y  $-$ )

## Densidad de corriente $\vec{J}$

Es una medida, en el entorno de un punto  $P$ , de la cantidad de carga eléctrica que atraviesa en una unidad de tiempo, la superficie normal a  $\vec{v}$

# Intensidad de corriente eléctrica

- Dada una superficie  $S$ , a través de la cuál existe movimiento de cargas, el flujo de  $\vec{J}$  a través de  $S$  se denomina **intensidad de corriente eléctrica**

$$i = \int_S \vec{J} \cdot d\vec{s} \quad [\text{A}]$$

- Magnitud escalar
- Representa la cantidad de carga positiva que atraviesa una superficie dada por unidad de tiempo

$$i = \frac{dq}{dt}$$

# Conductores

- En función de las propiedades de conducción los materiales pueden clasificarse en:
  - ▶ **conductores**: disponen de  $e^-$  libres que pueden moverse con facilidad ante la aplicación de un campo eléctrico externo
  - ▶ **aislantes o dieléctricos**: no disponen de  $e^-$  libres.
- Si se aplica un  $\vec{E}_{\text{ext}}$  sobre un material con  $e^-$  libres  $\rightarrow \vec{F} \rightarrow \vec{a}$

$$\vec{F} = m\vec{a} = q\vec{E}_{\text{ext}} \Rightarrow m \frac{d\vec{v}}{dt} = e^- \vec{E}_{\text{ext}} \Rightarrow \vec{v} = \frac{e^- \vec{E}_{\text{ext}}}{m} t$$

la velocidad de los  $e^-$  aumenta linealmente con el tiempo, y por tanto también la corriente!

# Ley de Ohm

- Realmente, los  $e^-$  chocan con la red cristalina de los conductores:
  - ▶ El material se calienta
  - ▶ velocidad de arrastre  $\vec{v}_d$ , constante y cuya magnitud es  $\propto \vec{E}_{ext}$
- Ley de Ohm

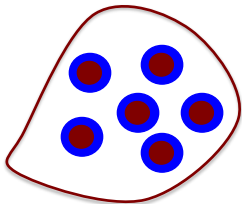
$$\vec{J} = \sigma \vec{E}$$

donde  $[\sigma] = [\text{S/m}]$  se denomina **conductividad**

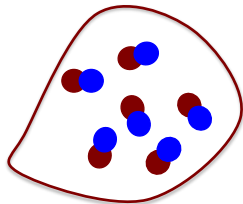
- ▶ conductores típicos:  $\sigma_{\text{Cu}} = 5.8 \cdot 10^7 \text{ S/m}$ ,  $\sigma_{\text{Ag}} = 6.1 \cdot 10^7 \text{ S/m}$
- ▶ aislantes típicos:  $\sigma_{\text{agua}} = 10^{-2} \text{ S/m}$ ,  $\sigma_{\text{tierra húmeda}} = 10^{-3} \text{ S/m}$
- ▶ conductor perfecto:  $\sigma = \infty$
- ▶ aislante perfecto:  $\sigma = 0$

# Dieléctricos

- No disponen de  $e^-$  libres.
- Formado por átomos eléctricamente neutros a nivel microscópico
- Tipos



moléculas no polares

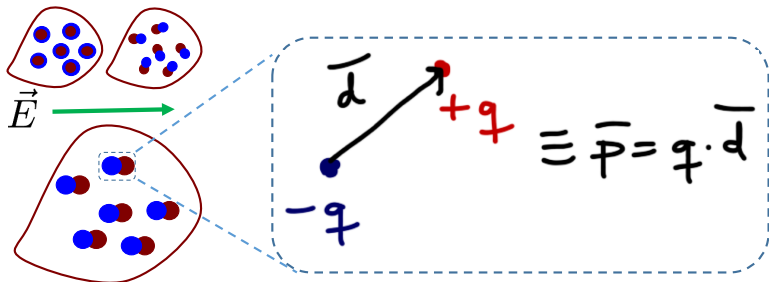


moléculas polares (Ej:  $\text{H}_2\text{O}$ )



# Vector polarización

- Ante la presencia de un campo eléctrico externo  $\vec{E}$



- ▶ Dipolos inducidos  $\bullet\bullet \rightarrow$  momento dipolar  $\vec{p}_i$
- ▶ Vector de polarización

$$\vec{P} = \lim_{\Delta v \rightarrow 0} \frac{\sum_i \vec{p}_i}{\Delta v}, \quad \left[ \frac{\text{C}}{\text{m}^2} \right]$$

# Desplazamiento eléctrico

- Efecto del campo eléctrico externo en el dieléctrico

$$\vec{D} = \epsilon_0 \vec{E} + \vec{P} \quad \left[ \frac{\text{C}}{\text{m}^2} \right]$$

donde  $\epsilon_0 = \frac{1}{36\pi} \cdot 10^{-9} \text{ F/m}$  es la **permitividad en el vacío**

- Si el medio dieléctrico es **lineal**<sup>1</sup> e **isótropo**<sup>2</sup>  $\rightarrow \vec{P} \propto \vec{E}$

$$\vec{P} = \chi_e \epsilon_0 \vec{E}$$

donde  $\chi_e$  es la susceptibilidad eléctrica

- De esta forma

$$\vec{D} = \epsilon_0 \vec{E} + \vec{P} = \epsilon_0 \vec{E} + \chi_e \epsilon_0 \vec{E} = \epsilon_0 (1 + \chi_e) \vec{E} = \epsilon_0 \epsilon_r \vec{E} = \epsilon \vec{E}$$

---

<sup>1</sup> $\epsilon \neq f(|\vec{E}|)$

<sup>2</sup> $\epsilon \neq f(\angle \vec{E})$

# Permitividad relativa

- $\vec{D} = \epsilon \vec{E}$
- $\epsilon = \epsilon_0 \epsilon_r$  es la **permitividad absoluta**
  - ▶  $\epsilon_r$  es **permitividad relativa** o constante dieléctrica (caracteriza un dieléctrico)
  - ▶  $\epsilon_r \geq 1$
  - ▶ Adimensional!

Material	$\epsilon_r$	Rigidez dieléctrica <sup>3</sup> [V/m]
Aire (vacío)	1	$3 \cdot 10^6$
Teflón	2.1	—
Caucho, goma	3.1	$21 \cdot 10^6$
Madera	4	$6 \cdot 10^6$
Vidrio	7	$30 \cdot 10^6$
Agua de mar	81	—

<sup>3</sup>Valor máximo de campo eléctrico que es capaz de soportar el material sin que produzca una descarga eléctrica en su interior

# Dieléctricos, resumen

- $\vec{D} = \epsilon_0 \vec{E} + \vec{P} = \epsilon \vec{E}$
- En el vacío (aire):  $\epsilon_r = 1$ ,  $\vec{P} = 0$ ,  $\vec{D} = \epsilon_0 \vec{E}$
- En otro medio dieléctrico:  $\epsilon_r > 1$ ,  $\vec{P} \neq 0$

## Desplazamiento eléctrico $\vec{D}$

Depende únicamente de la carga libre  $\rho_v$  y es **independiente** del medio físico en que se manifiesta el campo

# Corriente de desplazamiento

- Variación del desplazamiento eléctrico con respecto al tiempo

$$\vec{J}_d = \frac{\partial \vec{D}}{\partial t} \left[ \frac{\text{A}}{\text{m}^2} \right]$$

- Término fundamental introducido por Maxwell para verificar el *principio de conservación de la carga*
- Unidades de densidad de corriente, pero no hay desplazamiento de carga libre!

## Summing up

- $\rho_v$  (fuente)  $\rightarrow \vec{E}$  (campo)  $\rightarrow \vec{F}$  (manifestación física)

- **Conductores:** mvto. de carga libre

- ▶  $\vec{E} \rightarrow \vec{v}_d \rightarrow \vec{J} \longleftrightarrow i \Rightarrow \boxed{\vec{J} = \sigma \vec{E}}$

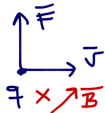
- **Dieléctricos:** polarización de la materia

- ▶  $\vec{E} \rightarrow \vec{P} \rightarrow \vec{D} = \epsilon_0 \vec{E} + \vec{P} \Rightarrow \boxed{\vec{D} = \epsilon \vec{E}}$

# Inducción magnética $\vec{B}$

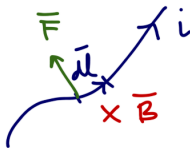
- Se define para explicar fuerzas entre corrientes eléctricas
- Corriente eléctrica  $i$  (fuente)  $\rightarrow$  inducción magnética  $\vec{B}$  [T]

## 1 FZA. SOBRE PARTÍCULA CARGADA:



- ▶  $\vec{F} \propto \vec{B}$
- ▶  $\vec{F} = q(\vec{v} \times \vec{B})$

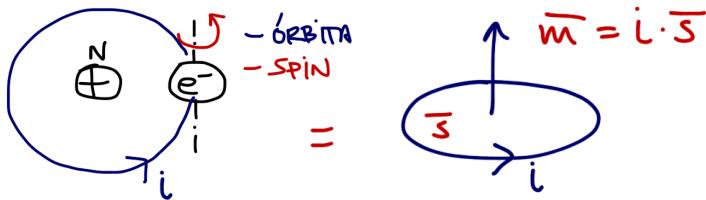
## 2 FZA. SOBRE ELEMENTO DE CORRIENTE: $i d\vec{l}$



- ▶ En el elemento  $d\vec{l}$  hay una carga  $dq$  que se mueve a velocidad  $\vec{v}$ :  $d\vec{F} = dq(\vec{v} \times \vec{B})$
- ▶ En el hilo  $dq \vec{v} = idt \frac{d\vec{l}}{dt} = id\vec{l}$
- ▶ Por tanto  $d\vec{F} = i(d\vec{l} \times \vec{B}) \rightarrow \vec{F} = \int_L i(d\vec{l} \times \vec{B})$

# Propiedades magnéticas de la materia

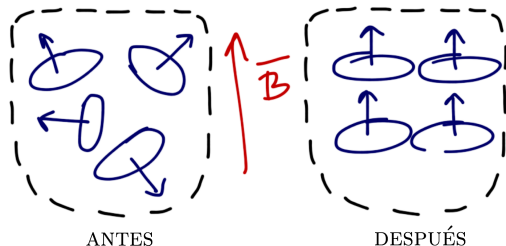
- Átomo = núcleo (estático) +  $e^-$  (orbitan alrededor del núcleo + mvto. spin)
- $\rightarrow$  partícula cargada en mvto.  $\rightarrow$  corriente eléctrica  $\rightarrow$  campo magnético



- Cada átomo puede modelarse como un **momento magnético**:  $\vec{m}_i = iS\vec{u}_n$
- En estado neutro, orientación de los momentos magnéticos es aleatoria, y por tanto el campo magnético total resultante es nulo (véase siguiente transparencia)

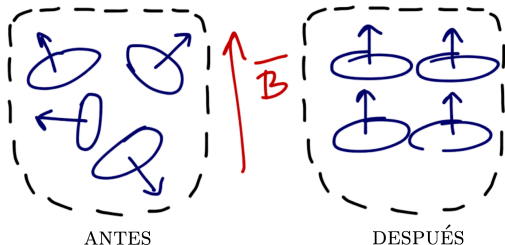


## Imanación o imantación de un material



- En presencia de un campo magnético externo  $\vec{B}$  los momentos magnéticos se alinean con él

## Imanación o imantación de un material



- En presencia de un campo magnético externo  $\vec{B}$  los momentos magnéticos se alinean con él
- Se dice entonces que el material se **magnetiza** (imanación o imantación)
- El proceso de imanación queda reflejado a través del **vector de magnetización**

$$\vec{M} = \lim_{\Delta v \rightarrow 0} \frac{\sum_i \vec{m}_i}{\Delta v} \left[ \frac{\text{A}}{\text{m}} \right]$$

# Campo magnético $\vec{H}$

- Se define como

$$\vec{H} = \frac{\vec{B}}{\mu_0} - \vec{M} \Rightarrow \vec{B} = \mu_0(\vec{H} + \vec{M})$$

donde  $\mu_0 = 4\pi \cdot 10^{-7} \text{ H/m}$  es la **permeabilidad en el vacío**

- Si el medio dieléctrico es **lineal** e **isótropo**  $\rightarrow \vec{M} \propto \vec{H}$

$$\vec{M} = \chi_m \vec{H}$$

donde  $\chi_m$  es la susceptibilidad magnética

- De esta forma

$$\vec{B} = \mu_0(1 + \chi_m)\vec{H} = \mu_0\mu_r\vec{H} = \mu\vec{H}$$

# Permeabilidad relativa

- $\vec{B} = \mu \vec{H}$
- $\mu = \mu_0 \mu_r$  es la **permeabilidad absoluta**
  - ▶  $\mu_r$  es **permeabilidad relativa** (caracteriza los materiales magnéticos)
  - ▶ Adimensional!
- Materiales magnéticos:
  - ▶ Diamagnéticos:  $\mu_r \approx 1 < 1$  (Ej:  $\mu_r = 0.99$ ). Silicio, cobre.
  - ▶ Paramagnéticos:  $\mu_r \approx 1 > 1$  (Ej:  $\mu_r = 1.01$ ). Platino, aluminio.
  - ▶ Ferromagnéticos  $\mu_r \gg 1$  (Ej:  $\mu_r \approx 100, 1000, \dots$ ).
    - ★ Medios no lineales  $\rightarrow \mu(\vec{H}) \rightarrow$  Histéresis

## Summing up

- $\vec{J}$  (fuente)  $\rightarrow$   $\vec{B}$  (campo)  $\rightarrow$   $\vec{F}$  (manifestación física)
- Magnetización de la materia
  - ▶  $\vec{B}_{\text{ext}} \rightarrow \vec{M} \rightarrow \vec{B}_{\text{Total}} = \mu_0(\vec{H} + \vec{M})$
- En el vacío (espacio libre)  $\vec{M} = 0 \rightarrow \vec{B} = \mu_0\vec{H}$

### Campo magnético $\vec{H}$

Está relacionado únicamente con  $\vec{J}$  y es **independiente del medio** físico en que se manifiesta el campo

# Índice

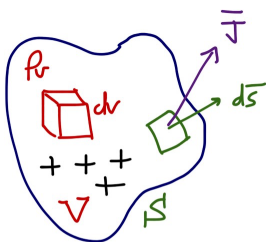
1 Magnitudes fundamentales:  $\rho_v, \vec{E}, \vec{J}, \vec{D}, \vec{B}, \vec{H}$

2 Ley de conservación de la carga

3 Ecuaciones de Maxwell

# Ley de conservación de la carga

- La carga eléctrica ni se crea ni se destruye
- Demostración: sea un volumen  $V$  delimitado por una superficie cerrada  $S$  que contiene una carga  $\rho_v$ .



- Hipótesis: si sale una corriente de  $V$  a través de  $S$ , la carga dentro de  $V$  ha de disminuir

# Ley de conservación de la carga

- Corriente saliente

$$i = \oint_S \vec{J} \cdot d\vec{s}$$

- Carga en el interior

$$q = \int_V \rho_v dv$$

- Disminución de  $q$  con el tiempo

$$-\frac{dq}{dt} = -\frac{d}{dt} \int_V \rho_v dv$$

- Igualando:

$$\oint_S \vec{J} \cdot d\vec{s} = -\frac{d}{dt} \int_V \rho_v dv = -\int_V \frac{\partial \rho_v}{\partial t} dv$$



# Ley de conservación de la carga

- Si aplicamos el Tma. de la divergencia

$$\int_V (\nabla \cdot \vec{J}) dv = - \int_V \frac{\partial \rho_v}{\partial t} dv$$

- Y dado que esta igualdad ha de cumplirse para cualquier volumen V, se tiene

$$\boxed{\nabla \cdot \vec{J} = - \frac{\partial \rho_v}{\partial t}}$$

**ecuación de continuidad**

# Corrientes estacionarias

- Se cumple que  $\frac{\partial \rho_v}{\partial t} = 0 \Rightarrow \nabla \cdot \vec{J} = 0$
- Son las corrientes suministradas por **pilas o baterías** (alimentación en circuitos eléctricos)
- Aplicando el Tma. de la divergencia

$$\int_V (\nabla \cdot \vec{J}) dv = \oint_S \vec{J} \cdot d\vec{s} = 0$$

y como  $i = \oint_S \vec{J} \cdot d\vec{s}$

- La ecuación anterior puede expresarse como

$$\sum_j i_j = 0$$

**Ley de Kirchhoff**

# Índice

- 1 Magnitudes fundamentales:  $\rho_v, \vec{E}, \vec{J}, \vec{D}, \vec{B}, \vec{H}$
- 2 Ley de conservación de la carga
- 3 Ecuaciones de Maxwell

# El campo electromagnético

$\vec{E}$ :	Campo eléctrico	[V/m]
$\vec{D}$ :	Desplazamiento eléctrico	[C/m <sup>2</sup> ]
$\vec{B}$ :	Inducción magnética	[T]
$\vec{H}$ :	Campo magnético	[A/m]

- Si  $\vec{E}$  y  $\vec{B}$  existen en un punto  $P$  del espacio, pueden detectarse colocando una carga  $q$  que viaja a velocidad  $\vec{v}$  en dicho punto

$$\vec{F}_T = \vec{F}_e + \vec{F}_m = q(\vec{E} + \vec{v} \times \vec{B})$$

**fuerzas de Lorentz**

# Postulados fundamentales del electromagnetismo

## Ecuaciones de Maxwell

$$① \nabla \cdot \vec{D} = \rho_v$$

$$② \nabla \times \vec{E} = -\frac{\partial \vec{B}}{\partial t}$$

$$③ \nabla \cdot \vec{B} = 0$$

$$④ \nabla \times \vec{H} = \vec{J} + \frac{\partial \vec{D}}{\partial t}$$

$$① \nabla \cdot \vec{J} = -\frac{\partial \rho_v}{\partial t}$$

$$② \vec{F} = q(\vec{E} + \vec{v} \times \vec{B})$$

# Resolver un problema electromagnético

- Dadas las reglas anteriores, el objetivo es calcular

$$\{\vec{E}, \vec{D}, \vec{B}, \vec{H}, \vec{J}, \rho_v\}$$

en todos los puntos del espacio

- Sólo tres de ecuaciones son independientes: Ec. (1), (2) y (4)
- Son necesarias tres ecuaciones adicionales<sup>4</sup>:

$\vec{J} = \sigma \vec{E}$	$\rightarrow$	CONDUCTORES
$\vec{D} = \epsilon \vec{E}$	$\rightarrow$	DIELÉCTRICOS
$\vec{B} = \mu \vec{H}$	$\rightarrow$	MAGNÉTICOS

**ecuaciones constitutivas**

---

<sup>4</sup>Para medios lineales, homogéneos, e isótropos

# Conductores y dieléctricos

- Sea un material (conductor o dieléctrico) sobre el que se coloca una distribución  $\rho_v(t=0) = \rho_0$
- Nos preguntamos cómo evoluciona  $\rho_v(t)$
- Si  $\rho_v(t) \rightarrow \vec{J}$ , que ha de cumplir conjuntamente

$$\left. \begin{array}{l} \vec{J} = \sigma \vec{E} \\ \nabla \cdot \vec{J} = -\frac{\partial \rho_v}{\partial t} \end{array} \right\} \Rightarrow \nabla \cdot (\sigma \vec{E}) = -\frac{\partial \rho_v}{\partial t} \Rightarrow \sigma \nabla \cdot \vec{E} = -\frac{\partial \rho_v}{\partial t}$$

- Y teniendo en cuenta que  $\vec{D} = \epsilon \vec{E}$  y  $\nabla \cdot \vec{D} = \rho_v$

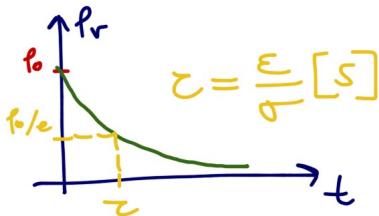
$$\sigma \nabla \cdot \left( \frac{\vec{D}}{\epsilon} \right) = -\frac{\partial \rho_v}{\partial t} \Rightarrow \boxed{\frac{\sigma}{\epsilon} \rho_v = -\frac{\partial \rho_v}{\partial t}}$$

# Conductores y dieléctricos

- La solución a la ecuación diferencial es

$$\rho_v = \rho_0 e^{-\frac{\sigma}{\epsilon} t}$$

$$\left[ \frac{\text{C}}{\text{m}^3} \right]$$



- Material conductor

- ▶ Conductor perfecto:  $\sigma = \infty \Rightarrow \tau = 0$
- ▶ Buen conductor:  $\sigma_{\text{cu}} = 5.8 \cdot 10^7 \text{ S/m}$ ,  $\epsilon = \epsilon_0 \Rightarrow \tau = 1.52 \cdot 10^{-9} \text{ s}$

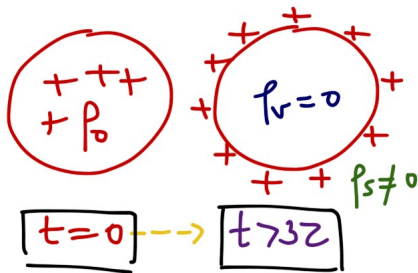
- Material dieléctrico

- ▶ Dieléctrico perfecto:  $\sigma = 0 \Rightarrow \tau = \infty$
- ▶ Buen dieléctrico:  $\sigma_{\text{mica}} = 10^{-15} \text{ S/m}$ ,  $\epsilon_r = 6 \Rightarrow \tau = 53052 \text{ s} = 14.7 \text{ horas}$



# Conductores

- Tiempo de relajación  $\tau$  muy pequeño
- En un tiempo muy breve,  $\rho_0$  se distribuye haciendo que  $\rho_v = 0$



- Interpretación física: campo eléctrico empuja a las cargas a la superficie
- Conclusión: **en el interior de un conductor**  $\vec{E}_{\text{electrostático}} = 0$

# Dieléctricos

- Tiempo de relajación  $\tau$  muy grande
- Al colocar una (distribución de) carga  $\rho_0$  en un dieléctrico, ésta permanece
- En un dieléctrico la conductividad es baja, y por tanto un campo eléctrico no puede mover las cargas.

Grado en Ingeniería Aeroespacial en Vehículos Aeroespaciales

## TEMA 2. LEYES GENERALES DEL CAMPO ELECTROMAGNÉTICO

Escuela Técnica Superior de Ingeniería de Telecomunicación  
Universidad Rey Juan Carlos

# Bibliografía

- 1 J. Fraile Mora. *Electromagnetismo y circuitos eléctricos*. Ed.: Mc Graw Hill. Capítulo 1.

# Índice

1 Interpretación física de las ecuaciones de Maxwell

2 Condiciones de contorno

## Revisiting

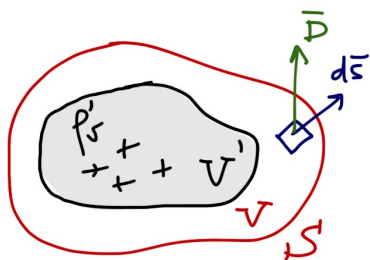
$$\nabla \cdot \vec{D} = \rho_v \quad (1)$$

$$\nabla \times \vec{E} = -\frac{\partial \vec{B}}{\partial t} \quad (2)$$

$$\nabla \cdot \vec{B} = 0 \quad (3)$$

$$\nabla \times \vec{H} = \vec{J} + \frac{\partial \vec{D}}{\partial t} \quad (4)$$

# Ley de Gauss



- Si partimos de  $\nabla \cdot \vec{D} = \rho'_v$ , e integramos sobre volumen arbitrario  $V$

$$\int_V \nabla \cdot \vec{D} dv = \int_V \rho'_v dv$$

- y aplicamos el Tma. de la Divergencia

$$\oint_S \vec{D} \cdot d\vec{s} = \oint_V \rho'_v dv = Q_{\text{libre}}$$

$$\oint_S \vec{D} \cdot d\vec{s} = Q_{\text{libre}}$$

**Ley de Gauss**

# Ley de Gauss

## Utilidad

Cálculo del campo eléctrico cuando:

- Distribuciones de carga con simetrías espaciales
- Se conoce a priori la forma de las líneas de  $\vec{E}$  y su evolución con la distancia

## Ejemplos

Utilizando la Ley de Gauss, calcule el campo eléctrico  $\vec{E}$  creado por las siguientes distribuciones de carga, situadas en el vacío:

- 1 Una carga puntual  $Q$
- 2 Una distribución esférica de carga de radio  $r_0$  de densidad volumétrica  $\rho_v$  constante
- 3 Una carga lineal de longitud infinita y densidad  $\rho_l$
- 4 Una superficie plana infinita de densidad constante  $\rho_s$



# Campo magnético solenoidal

$$\nabla \cdot \vec{B} = 0$$

- Campo magnético es **solenoidal**  $\rightarrow$  líneas de campo cerradas.
- No existen monopolos magnéticos
- **Flujo magnético**  $\Phi$  sobre una superficie cerrada es nulo

$$\Phi = \int_S \vec{B} \cdot d\vec{s}$$

# Ley de Ampère-Maxwell

- Ecuación:  $\nabla \times \vec{H} = \vec{J} + \frac{\partial \vec{D}}{\partial t}$
- Si  $\frac{\partial \vec{D}}{\partial t} = 0$  (magnetostática)  $\rightarrow$  **Ley de Ampère**

$$\nabla \times \vec{H} = \vec{J}$$

- En forma integral

$$\int_S (\nabla \times \vec{H}) \cdot d\vec{s} = \int_S \vec{J} \cdot d\vec{s}$$

y utilizando el Tma. de Stokes

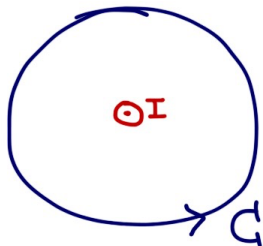
$$\oint_C \vec{H} \cdot d\vec{l} = \int_S \vec{J} \cdot d\vec{s} = I$$

resulta en

$$\boxed{\oint_C \vec{H} \cdot d\vec{l} = I_{\text{enc}}}$$

# Aplicación de la Ley de Ampère

$$\oint_C \vec{H} \cdot d\vec{l} = I_{\text{enc}}$$

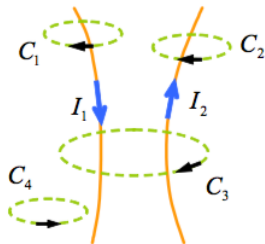


- Sentido de integración: regla de la mano derecha
- Situaciones de simetría, en donde  $|\vec{H}|$  sea cte. a lo largo del contorno  $C$

# Aplicación de la Ley de Ampère

## Ejemplo 1

Sean dos corrientes  $I_1 = I$  e  $I_2 = I$  que tienen los sentidos marcados en la figura. Calcule la circulación de  $\vec{H}$  a lo largo de cada una de las curvas representadas en la figura.



# Aplicación de la Ley de Ampère

## Ejemplo 2

Calcule el campo magnético  $\vec{H}$  y el campo de inducción magnética  $\vec{B}$  creado por un hilo recto de longitud infinita que transporta una corriente  $I$

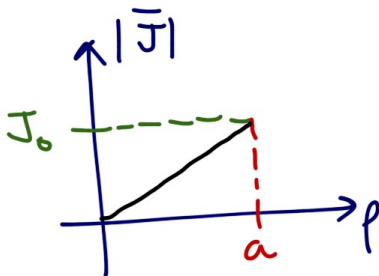
## Ejemplo 3

Calcule el campo magnético  $\vec{H}$  y el campo de inducción magnética  $\vec{B}$  en todo punto del espacio, creado por un hilo conductor recto de longitud infinita y radio  $a$  conduce una corriente continua  $I_0$  que está distribuida uniformemente a través de su sección recta.

# Aplicación de la Ley de Ampère

## Ejemplo 4

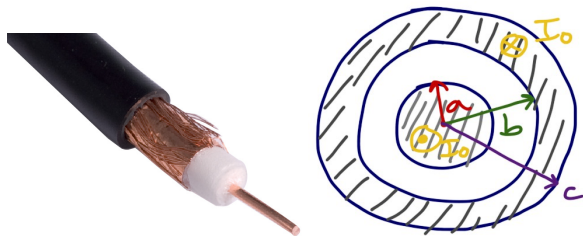
Calcule el campo magnético  $\vec{H}$  y el campo de inducción magnética  $\vec{B}$  en todo punto del espacio, creado por un hilo conductor recto de longitud infinita y radio  $a$  que conduce una corriente continua distribuida en su sección recta de forma no uniforme según la expresión  $\vec{J}(\rho) = J_0 \left(\frac{\rho}{a}\right) \vec{u}_z$



# Aplicación de la Ley de Ampère

## Ejemplo 5

Calcule el campo magnético  $\vec{H}$  y el campo de inducción magnética  $\vec{B}$  en todo punto del espacio, creado por un **cable coaxial** recto de longitud infinita cuyo eje longitudinal se sitúa sobre el eje  $z$ . El conductor interno tiene radio  $a$  y conduce una corriente continua  $I_0$  que está distribuida uniformemente a través de su sección recta y que circula en sentido  $\vec{u}_z$ . El conductor externo ( $b \leq \rho \leq c$ ), conduce una corriente continua  $I_0$  que está distribuida uniformemente a través de su sección recta y que circula en sentido  $-\vec{u}_z$ .



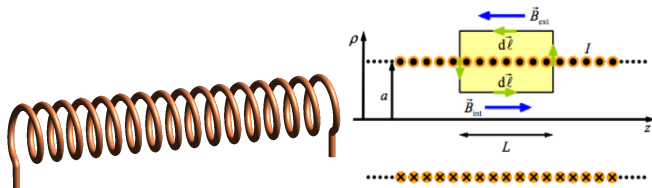
# Aplicación de la Ley de Ampère

## Ejemplo 6

Calcule el campo magnético  $\vec{H}$  en todos los puntos del espacio, creado por un plano infinito situado en  $z = 0$  que conduce una corriente superficial  $\vec{J}_s = k_0 \vec{u}_y$  A/m, con  $k_0 = \text{cte}$ .

## Ejemplo 7

Calcule el campo magnético  $\vec{H}$  en todos los puntos del espacio, creado por un **solenoid**e de longitud infinita, por el que circula una corriente  $I$ , con una densidad de  $n$  espiras por unidad de longitud

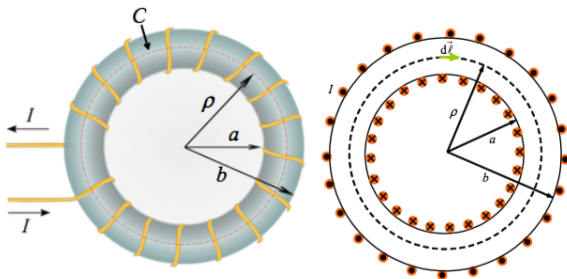




# Aplicación de la Ley de Ampère

## Ejemplo 8

Calcule el campo magnético  $\vec{H}$  en el interior de una bobina toroidal compuesta por  $N$  espiras cada una de las cuales transporta una corriente  $I$



# Ley de Faraday

- 1 Electrodinámica:

$$\nabla \times \vec{E} = -\frac{\partial \vec{B}}{\partial t}$$

- 2 Electrostática:

$$\nabla \times \vec{E} = 0$$

- En electrostática se cumple<sup>1</sup> que

$$\nabla \times \vec{E} = 0 \Rightarrow \vec{E} = -\nabla V$$

donde  $V$  es un campo escalar denominado **potencial eléctrico**

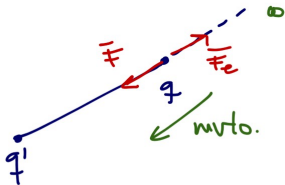
- Unidades:  $[V] = \text{V}$  (voltios)

---

<sup>1</sup>Recuerde la identidad vectorial  $\nabla \times \nabla U = 0$

# Interpretación del potencial eléctrico

- Supongamos que tenemos una carga  $q'$  y a distancia  $r$  colocamos otra carga  $q$



- Para colocar esa carga hemos tenido que realizar un trabajo (con una fuerza  $\vec{F}$ ) para vencer la fuerza eléctrica  $\vec{F}_e$ , esto es

$$W = \int_{\infty}^r \vec{F} \cdot d\vec{l} = - \int_{\infty}^r \vec{F}_e \cdot d\vec{l} = -q \int_{\infty}^r \vec{E} \cdot d\vec{l}$$

donde hemos asumido que el punto de partida es un lugar lejano ( $r = \infty$ )

# Interpretación del potencial eléctrico

- Se denomina **potencial eléctrico** a

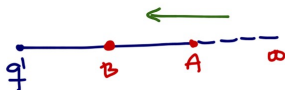
$$V(r) = \frac{W}{q} = - \int_{\infty}^r \vec{E} \cdot d\vec{l}$$

esto es, al **trabajo por unidad de carga** para transportar una carga desde  $\infty$  a la posición  $r$

- Unidades:  $[V] = J/C = V$

## Diferencia de potencial

- Supongamos ahora que en el seno de un campo eléctrico  $\vec{E}$  quiero desplazar una carga  $q$  desde el punto  $A$  hasta el punto  $B$



- De la definición de potencial

$$V(A) = - \int_{\infty}^A \vec{E} \cdot d\vec{l}$$

- ▶ Como  $B$  está más cerca de  $q' \Rightarrow V(B) > V(A)$

$$V(B) = - \int_{\infty}^B \vec{E} \cdot d\vec{l}$$

- Calculamos la diferencia

$$\begin{aligned} V(B) - V(A) &= - \int_{\infty}^B \vec{E} \cdot d\vec{l} + \int_{\infty}^A \vec{E} \cdot d\vec{l} = \\ &= - \left[ \int_{\infty}^A \vec{E} \cdot d\vec{l} + \int_A^B \vec{E} \cdot d\vec{l} \right] + \int_{\infty}^A \vec{E} \cdot d\vec{l} = - \int_A^B \vec{E} \cdot d\vec{l} \end{aligned}$$

## Diferencia de potencial

$$V(B) - V(A) = V_{AB} = - \int_A^B \vec{E} \cdot d\vec{l}$$

- $V_{AB}$ :  $A$  punto inicial,  $B$  punto final
- Si  $V_{AB} > 0 \rightarrow$  trabajo realizado por agente externo (por  $\vec{F}$ )
- Si  $V_{AB} < 0 \rightarrow$  trabajo realizado por  $\vec{E}$  ( $\vec{F}_e$ )
- $V_{AB}$  puede interpretarse como  $V(B)$  con referencia en  $A$ , por tanto

$$V(r) = - \int_{\infty}^r \vec{E} \cdot d\vec{l}$$

puede entenderse como el potencial en  $r$  con referencia en  $\infty$ , donde

$$V(\infty) = 0$$

No existen potenciales absolutos, sino diferencias de potencial!

# Diferencia de potencial

## Ejemplo

Calcule el potencial a distancia  $r$  de una carga  $q$  situada en el origen de coordenadas

# Relación potencial y campo eléctrico

- La integral

$$V_{AB} = - \int_A^B \vec{E} \cdot d\vec{l}$$

es **independiente** de la trayectoria, sólo depende de los puntos inicial y final

- ▶  $V_{AB} = V(B) - V(A) \rightarrow$  voy de  $A$  a  $B$
  - ▶  $V_{BA} = V(A) - V(B) \rightarrow$  voy de  $B$  a  $A$
- Si realizo el camino  $A \rightarrow B \rightarrow A$ , entonces

$$V_{AB} + V_{BA} = V_{AB} - V_{AB} = 0 \Rightarrow \oint \vec{E} \cdot d\vec{l} = 0$$



# Relación potencial y campo eléctrico

- Por el Tma. de Stokes, el resultado anterior es equivalente a

$$\oint \vec{E} \cdot d\vec{l} = 0 \Rightarrow \nabla \times \vec{E} = 0 \Rightarrow \vec{E} = -\nabla V$$

Se dice entonces que el campo (electrostático) es **conservativo**

- El campo eléctrico se dirige desde las superficies de mayor potencial a las de menos potencial

# Ley de Faraday

$$\nabla \times \vec{E} = -\frac{\partial \vec{B}}{\partial t}$$

- Ahora el campo eléctrico no es conservativo
- En forma integral, y aplicando el Tma. de Stokes, resulta

$$\oint_C \vec{E} \cdot d\vec{l} = - \int_S \frac{\partial \vec{B}}{\partial t} \cdot d\vec{s}$$

donde  $S$  es la superficie (abierta) definida por el contorno  $C$  (cerrado) cualquiera.

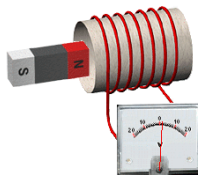
- Normalmente  $C$  es el contorno que define el circuito (material conductor): espira.
- El término de la izquierda se denomina **fuerza electromotriz (f.e.m.) inducida**

$$\varepsilon = \oint_C \vec{E} \cdot d\vec{l}, \quad [\text{V}]$$

# f.e.m. inducida

- Tiene unidades de voltaje
- Puede interpretarse como la fuerza por unidad de carga cedida por un campo no electrostático, es decir, como un **generador eléctrico**.
- Operando

$$\varepsilon = - \int_S \frac{\partial \vec{B}}{\partial t} \cdot d\vec{s} = - \frac{\partial}{\partial t} \int_S \vec{B} \cdot d\vec{s} = - \frac{d}{dt} \int_S \vec{B} \cdot d\vec{s}$$



$$\boxed{\varepsilon = - \frac{d\Phi}{dt}} \quad \begin{cases} \varepsilon \propto \frac{d\vec{B}}{dt} \\ \varepsilon \propto \text{área espira} \end{cases}$$

**Ley de inducción de Lenz-Faraday**

# Índice

1 Interpretación física de las ecuaciones de Maxwell

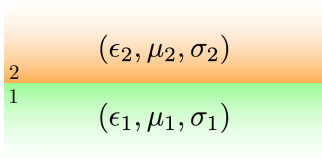
2 Condiciones de contorno

# Condiciones de contorno

- Relaciones entre los campos electromagnéticos en la **superficie de discontinuidad** entre dos medios

▶ Medio 1:  $(\epsilon_1, \mu_1, \sigma_1)$

▶ Medio 2:  $(\epsilon_2, \mu_2, \sigma_2)$



- Descomponemos el campo en **componentes normales y tangenciales** con respecto a la frontera de separación (siempre conocemos  $\vec{u}_n$ )

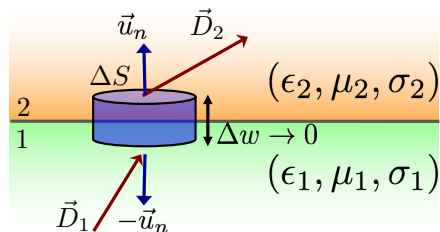
$$\vec{E} = \vec{E}_\perp + \vec{E}_\parallel = \vec{E}_n + \vec{E}_t$$

Todo lo que no sea normal es tangencial:

1  $\vec{E}_\perp = (\vec{E} \cdot \vec{u}_n) \cdot \vec{u}_n$

2  $\vec{E}_\parallel = \vec{E} - \vec{E}_\perp$

## Componentes normales



- Partimos de

$$\oint_S \vec{D} \cdot d\vec{s} = Q$$

- como  $\Delta w \rightarrow 0$ , sólo integramos la tapa superior e inferior,

$$\vec{D}_2 \cdot \vec{u}_n \Delta S + \vec{D}_1 \cdot (-\vec{u}_n \Delta S) = \rho_s \Delta S$$

- Resultando en

$$\vec{u}_n \cdot (\vec{D}_2 - \vec{D}_1) = \rho_s$$

# Componentes normales

- Teniendo en cuenta que

$$\vec{u}_n \cdot (\vec{D}_2 - \vec{D}_1) = \rho_s$$

entonces

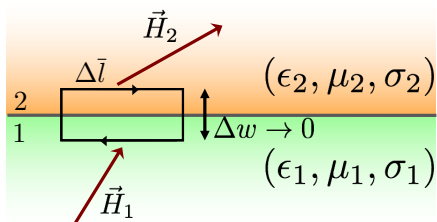
$$\vec{u}_n \cdot (\epsilon_2 \vec{E}_2 - \epsilon_1 \vec{E}_1) = \rho_s$$

- De manera análoga, partiendo de  $\oint_S \vec{B} \cdot d\vec{s} = 0$ , se llega a

$$\vec{u}_n \cdot (\vec{B}_2 - \vec{B}_1) = 0 \Rightarrow B_{n,2} = B_{n,1}$$

$$\vec{u}_n \cdot (\mu_2 \vec{H}_2 - \mu_1 \vec{H}_1) = 0$$

## Componentes tangenciales



$$\oint_C \vec{H} \cdot d\vec{l} = \int_S \vec{J} \cdot d\vec{s} + \int_S \frac{\partial \vec{D}}{\partial t} \cdot d\vec{s}$$

- Se puede demostrar que (véase página 62)

$$\vec{u}_n \times (\vec{H}_2 - \vec{H}_1) = \vec{J}_s \text{ [A/m]}$$

$$\vec{u}_n \times (\vec{E}_2 - \vec{E}_1) = 0 \Rightarrow E_{t,1} = E_{t,2}$$



# Frontera entre conductor y dieléctrico

- Asumimos medio 1 (conductor) y medio 2 (dieléctrico)
- En un conductor el campo interior es cero ( $\vec{E}_1 = 0 \Rightarrow \vec{D}_1 = 0$ ), y toda la carga está en la superficie:

$$\vec{u}_n \cdot (\vec{D}_2 - \vec{D}_1) = \rho_s \Rightarrow \vec{u}_n \cdot \vec{D}_2 = \rho_s \Rightarrow \boxed{D_{n,2} = \rho_s}$$

$$\vec{u}_n \times (\vec{E}_2 - \vec{E}_1) = 0 \Rightarrow \vec{u}_n \times \vec{E}_2 = 0 \Rightarrow \boxed{E_{t,2} = 0}$$

$$\vec{u}_n \cdot (\vec{B}_2 - \vec{B}_1) = 0 \Rightarrow \boxed{B_{n,2} = B_{n,1}}$$

$$\vec{u}_n \times (\vec{H}_2 - \vec{H}_1) = \vec{J}_s$$

## A tener en cuenta

- 1 En un conductor  $\vec{D}$  es normal a su superficie
- 2 Si no me dicen nada, asumimos que  $\rho_s = 0$  y que  $\vec{J}_s = 0$ . Normalmente estas magnitudes son distintas de cero en la superficie de los conductores

# Frontera entre dieléctricos y/o materiales magnéticos

- Asumimos medio 1 (dieléctrico/magnético) y medio 2 (dieléctrico/magnético)

$$\vec{u}_n \cdot (\vec{D}_2 - \vec{D}_1) = 0 \Rightarrow \boxed{D_{n,2} = D_{n,1}}$$

$$\vec{u}_n \times (\vec{E}_2 - \vec{E}_1) = 0 \Rightarrow \boxed{E_{t,2} = E_{t,1}}$$

$$\vec{u}_n \cdot (\vec{B}_2 - \vec{B}_1) = 0 \Rightarrow \boxed{B_{n,2} = B_{n,1}}$$

$$\vec{u}_n \times (\vec{H}_2 - \vec{H}_1) = 0 \Rightarrow \boxed{H_{t,2} = H_{t,1}}$$

Grado en Ingeniería Aeroespacial en Vehículos Aeroespaciales

## TEMA 3. DIVISIONES DEL ELECTROMAGNETISMO

Escuela Técnica Superior de Ingeniería de Telecomunicación  
Universidad Rey Juan Carlos

# Bibliografía

- 1 J. Fraile Mora. *Electromagnetismo y circuitos eléctricos*. Ed.: Mc Graw Hill. Capítulo 2.

# Fenómenos electromagnéticos

- 1 Campos estáticos
  - ▶ Electrostática
  - ▶ Magnetostática
- 2 Campos variables:  $\cos(\omega t) \rightarrow f \rightarrow \lambda$ 
  - ▶ Cuasiestacionarios: variación lenta
    - ★ Teoría de circuitos
    - ★ parámetros concentrados:  $V, I$
  - ▶ Variación rápida
    - ★ Ondas electromagnéticas
    - ★  $\vec{E}, \vec{H}$

# Divisiones del electromagnetismo

- Campos estáticos:

## Electrostática

$$\begin{aligned}\nabla \cdot \vec{D} &= \rho_v \\ \nabla \times \vec{E} &= 0\end{aligned}$$

## Magnetostática

$$\begin{aligned}\nabla \cdot \vec{B} &= 0 \\ \nabla \times \vec{H} &= \vec{J}\end{aligned}$$

- Campos variables:

## Campo cuasiestacionario

$$\begin{aligned}\nabla \cdot \vec{D} &= \rho_v \\ \nabla \times \vec{E} &= -\frac{\partial \vec{B}}{\partial t} \\ \nabla \cdot \vec{B} &= 0 \\ \nabla \times \vec{H} &= \vec{J}\end{aligned}$$

## Campo electromagnético

$$\begin{aligned}\nabla \cdot \vec{D} &= \rho_v \\ \nabla \times \vec{E} &= -\frac{\partial \vec{B}}{\partial t} \\ \nabla \cdot \vec{B} &= 0 \\ \nabla \times \vec{H} &= \vec{J} + \frac{\partial \vec{D}}{\partial t}\end{aligned}$$

# Índice

## 1 Electrostática

- Potencial eléctrico
- Capacidad y condensadores

## 2 Fenómenos eléctricos en presencia de corrientes estacionarias

- Fuerza electromotriz
- Resistencia eléctrica

## 3 Magnetostática

- Inductancia

## 4 Campos electromagnéticos variables

- Corriente de desplazamiento
- Ondas electromagnéticas

# Electrostática

- Postulados de la electrostática

$$\nabla \cdot \vec{D} = \rho_v$$

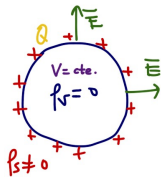
$$\nabla \times \vec{E} = 0 \Rightarrow \vec{E} = -\nabla V$$

junto con  $\vec{D} = \epsilon \vec{E}$  y  $\vec{F} = q \vec{E}$



# Conductores en electrostática

- $\rho_v = 0 \Rightarrow \vec{E} = 0$
- $\rho_s \neq 0$
- Como  $\vec{E} = -\nabla V$  y  $\vec{E} = 0$ , entonces  $\nabla V = 0 \Rightarrow V = \text{cte.}$



- ▶ Conductor  $\equiv$  superficie equipotencial
- ▶ Conductor a potencial  $V_0 \equiv$  carga  $Q$  depositada en superficie ( $\rho_s \neq 0$ )
- ▶ Si conectamos dos conductores igualamos su potencial
- ▶ Si ponemos a tierra un conductor su potencial se hace cero.

- $\vec{E} \perp$  superficie del conductor
  - ▶  $\vec{E} = E_n \vec{u}_n$

# Apantallamiento eléctrico

## Ejemplo 1

Sea una esfera conductora maciza de radio  $a$ , rodeada por otra metálica y hueca, concéntrica con la anterior de radio interior  $b$  y radio exterior  $c$ . Se aplica una tensión de  $V_0$  voltios a la esfera interior, siendo la permitividad de todas las zonas  $\epsilon_0$ . Calcule:

- 1 El campo eléctrico y el potencial eléctrico en todos los puntos del espacio, en función de la carga  $Q$  depositada por la batería en la esfera interior
- 2 Valor de  $Q$
- 3 Se conecta ahora la esfera hueca exterior a tierra, permaneciendo la interior en  $V_0$  voltios. Determine la nueva carga  $Q'$  que adquirirá la esfera interior, así como el campo y el potencial eléctrico en todos los puntos del espacio.

# Apantallamiento eléctrico

## Ejemplo 1

Sea una esfera conductora maciza de radio  $a$ , rodeada por otra metálica y hueca, concéntrica con la anterior de radio interior  $b$  y radio exterior  $c$ . Se aplica una tensión de  $V_0$  voltios a la esfera interior, siendo la permitividad de todas las zonas  $\epsilon_0$ . Calcule:

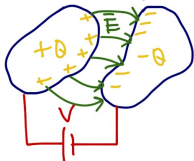
- 1 El campo eléctrico y el potencial eléctrico en todos los puntos del espacio, en función de la carga  $Q$  depositada por la batería en la esfera interior
- 2 Valor de  $Q$
- 3 Se conecta ahora la esfera hueca exterior a tierra, permaneciendo la interior en  $V_0$  voltios. Determine la nueva carga  $Q'$  que adquirirá la esfera interior, así como el campo y el potencial eléctrico en todos los puntos del espacio.

## Jaula de Faraday

Una envoltura cerrada conductora (puede ser una rejilla), divide el espacio en dos regiones independientes (interior y exterior), de tal forma que el interior no se ve afectado por campos externos.

# Condensador

- Dispositivo que almacena energía del campo eléctrico
- Está formado por:



- ▶ Dos **conductores** (perfectos)
- ▶ Situados en un medio **dieléctrico** ( $\epsilon$ )
- ▶ Sometidos a una **diferencia de potencial**  
 $V = V_{ab} = \Delta V$

- Funcionamiento:

- 1 Se aplica d.d.p (con batería o pila)  $V$
- 2 Separación de cargas: un conductor  $+Q$  y otro  $-Q$  en la superficie de los mismos.
- 3 Campo eléctrico ( $\perp$  a los conductores). Sentido desde  $+Q$  a  $-Q$

## Capacidad de un condensador

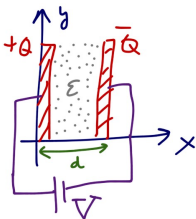
$$C = \frac{Q}{V} = \frac{\oint \vec{D} \cdot d\vec{s}}{\int_1^2 \vec{E} \cdot d\vec{l}} \quad [\text{F}]$$

# Condensador de placas plano-paralelas

## Ejemplo 2

Calcule la capacidad de un condensador plano formado por dos placas metálicas paralelas de superficie  $S$  y separadas una distancia  $d$ . El espacio entre placas contiene un dieléctrico de permitividad  $\epsilon$ . Nota: las dimensiones de las placas son muy superiores a la separación  $d$ , de tal forma que puede considerar el campo uniforme dentro del condensador. Igualmente puede despreciar el efecto de los bordes

- Solución:  $C = \epsilon \frac{S}{d} \text{ F}$



# Condensador esférico

## Ejemplo 3

Calcule la capacidad de un condensador formado por dos esferas conductoras huecas de radios  $a$  y  $b$  con un dieléctrico intermedio de conductividad  $\epsilon$

- Solución:  $C = \frac{4\pi\epsilon ab}{b-a} \text{ F}$

# Índice

- 1 Electrostática
  - Potencial eléctrico
  - Capacidad y condensadores
- 2 Fenómenos eléctricos en presencia de corrientes estacionarias
  - Fuerza electromotriz
  - Resistencia eléctrica
- 3 Magnetostática
  - Inductancia
- 4 Campos electromagnéticos variables
  - Corriente de desplazamiento
  - Ondas electromagnéticas

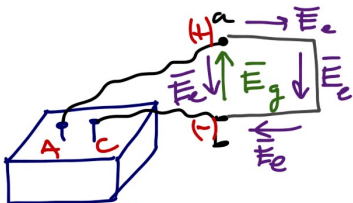
# Fenómenos eléctricos en presencia de corrientes estacionarias

- ¿Qué es una corriente estacionaria?
  - ▶ Definición:  $\nabla \cdot \vec{J} = 0$ , esto es corriente continua o de variación lenta.
  - ▶ Se cumple que  $\vec{J} = \sigma \vec{E}$
- ¿Cómo generamos corrientes estacionarias? **fuerza electromotriz** (f.e.m.)
- Dichas *fuentes* alimentan un circuito eléctrico, de tal forma que dentro del circuito se cumple que  $\vec{J} = \sigma \vec{E}$
- La relación entre la d.d.p (V) y la corriente (I) en un circuito eléctrico, permite caracterizarlo a través de la **resistencia eléctrica**
- Los fenómenos magnéticos asociados a las corrientes estacionarias generadas se analizarán en la sección de **magnetostática**



# Fuerza electromotriz (f.e.m.)

- Fuentes eléctricas que surgen de la conversión de energía no eléctrica en eléctrica:
  - ▶ Baterías
  - ▶ Células fotovoltaicas
  - ▶ generadores eléctricos
- Generan un campo **no conservativo**  $\vec{E}_g$  que produce una acumulación de cargas positivas en el **ánodo** (+), y de cargas negativas en el **cátodo** (-)



- ▶  $\vec{E}_g$  sólo existe dentro de la batería
- ▶ Las cargas acumuladas generan un campo conservativo  $\vec{E}_e$  (tanto dentro como fuera de la batería)

# Fuerza electromotriz (f.e.m.)

- Si integramos a lo largo de un camino cerrado (el circuito eléctrico) el campo total existente

$$\vec{E} = \vec{E}_g + \vec{E}_e$$

se tiene que

$$\begin{aligned} \oint_C \vec{E} \cdot d\vec{l} &= \oint_C \vec{E}_g \cdot d\vec{l} + \oint_C \vec{E}_e \cdot d\vec{l} \quad 0 \text{ (conservativo)} \\ &= \int_b^a \vec{E}_g \cdot d\vec{l} = - \int_b^a \vec{E}_e \cdot d\vec{l} = V_{ab} \end{aligned}$$

- Esto es, entre los terminales  $a$  y  $b$  tenemos una d.d.p (unidades de voltaje)
- Esta d.d.p no es fruto del campo eléctrico  $\vec{E}_e$  (conservativo), sino de una f.e.m, que denotamos por

$$\varepsilon = \oint_C \vec{E} \cdot d\vec{l} = V_{ab}$$

## Resistencia eléctrica

- Si aplicamos una d.d.p (batería o pila) sobre un medio conductor, generamos un campo eléctrico  $\vec{E}$  que actúa sobre las carga libres desplazándolas (por medio de la fuerza eléctrica)
- Aparecerá por tanto una densidad de corriente  $\vec{J} = \sigma \vec{E}$
- Y una intensidad de corriente

$$I = \int \vec{J} \cdot d\vec{s} = \sigma \int \vec{E} \cdot d\vec{s}$$

- Teniendo en cuenta que

$$V = \int_a^b \vec{E} \cdot d\vec{l}$$

## Resistencia eléctrica

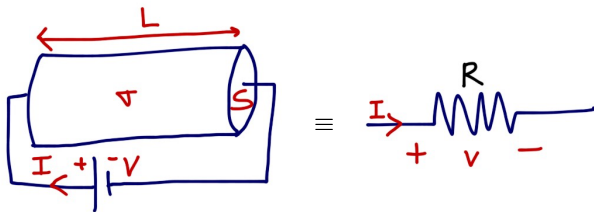
$$R = \frac{V}{I} = \frac{\int_a^b \vec{E} \cdot d\vec{l}}{\sigma \int \vec{E} \cdot d\vec{s}} \quad [\Omega]$$

## Resistencia de un conductor cilíndrico

### Ejemplo 3

Calcule la resistencia eléctrica de un conductor cilíndrico de conductividad  $\sigma$ , sección transversal  $S$  y longitud  $L$

- Solución:  $R = \frac{1}{\sigma} \frac{L}{S} = \rho \frac{L}{S} \Omega$ , donde  $\rho = 1/\sigma$  es la **resistividad** el material



### Ley de Ohm

Por tanto, si a la batería ( $\varepsilon$ ) conecto un conductor con resistencia  $R$

$$\varepsilon = V_{ab} = IR$$

# Índice

- 1 Electrostática
  - Potencial eléctrico
  - Capacidad y condensadores
- 2 Fenómenos eléctricos en presencia de corrientes estacionarias
  - Fuerza electromotriz
  - Resistencia eléctrica
- 3 Magnetostática
  - Inductancia
- 4 Campos electromagnéticos variables
  - Corriente de desplazamiento
  - Ondas electromagnéticas

# Magnetostática

- Postulados de la magnetostática

$$\nabla \cdot \vec{B} = 0$$

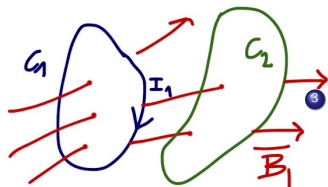
$$\nabla \times \vec{H} = \vec{J}$$

junto con  $\vec{B} = \mu\vec{H}$ ,  $\vec{F} = q(\vec{v} \times \vec{B})$  y  $d\vec{F} = i(d\vec{l} \times \vec{B})$

- $\vec{J}$  es una **corriente estacionaria**

# Inductancia e inductores

- Inductancia: **propiedad geométrica** de los circuitos eléctricos recorridos por una corriente  $I$ 
  - ▶ Similar a la capacidad: carga depositada en conductor es proporcional a la d.d.p. aplicada
- Supóngase dos circuitos  $C_1$  y  $C_2$ , recorridos por unas corrientes  $I_1$  e  $I_2$  respectivamente



- 1  $I_1$  crea un campo  $\vec{B}_1$  que atraviesa  $C_2$
- 2 El flujo en  $C_2$  creado por  $\vec{B}_1$  se puede calcular como

$$\Phi_{2,1} = \int_{S_2} \vec{B}_1 \cdot d\vec{s}_2$$

- 3 Dado que  $\vec{B}_1 \propto I_1 \Rightarrow \Phi_{2,1} \propto I_1$

$$\Phi_{2,1} = L_{21} I_1$$

donde  $L_{21}$  es la **inductancia mutua**, con  $[L] = \text{H}$

- ★ Nota: si  $C_2$  tiene  $N_2$  espiras, el flujo total sería  $\Psi_{2,1} = N_2 \Phi_{2,1}$

# Autoinductancia

- La definición de inductancia puede aplicarse al mismo circuito (asumiendo que tiene  $N_1$  espiras)

$$\Psi_{1,1} = N_1 \Phi_{1,1} = N_1 \int_{S_1} \vec{B}_1 \cdot d\vec{s}_1$$

- Igualmente  $\Psi_{1,1} \propto I_1$ , y a esa constante de proporcionalidad

$$L = L_{11} = N_1 \frac{\Phi_{1,1}}{I_1}$$

la denominamos **autoinductancia**, con  $[L] = \text{H}$



# ¿Por qué interesa la inductancia?

- 1 Fenómeno de **inducción electromagnética**: campos variables (*next section*)
  - ▶ Aparece una f.e.m inducida  $\varepsilon$  ante variaciones en el flujo magnético (Ley de Lenz-Faraday)
- 2 Inductor: circuito o parte de un circuito que presenta la propiedad de inductancia: solenoides, toroides, cable coaxial, etc.
- 3 Un inductor almacena energía magnética

# Índice

- 1 Electrostática
  - Potencial eléctrico
  - Capacidad y condensadores
- 2 Fenómenos eléctricos en presencia de corrientes estacionarias
  - Fuerza electromotriz
  - Resistencia eléctrica
- 3 Magnetostática
  - Inductancia
- 4 Campos electromagnéticos variables**
  - Corriente de desplazamiento
  - Ondas electromagnéticas

# Campos electromagnéticos variables

- Dos escenarios:
  - 1 Campos cuasiestacionarios: Ley de Lenz-Faraday
  - 2 Campos variables: corriente de desplazamiento

# Campo cuasiestacionario

- Postulados

$$\nabla \cdot \vec{D} = \rho_v$$

$$\nabla \times \vec{E} = -\frac{\partial \vec{B}}{\partial t}$$

$$\nabla \cdot \vec{B} = 0$$

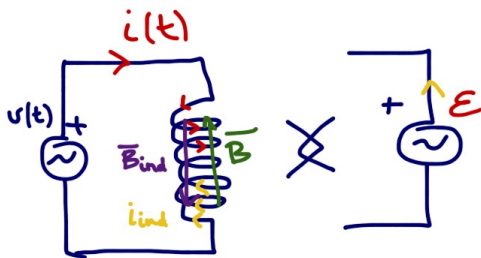
$$\nabla \times \vec{H} = \vec{J}$$

junto con  $\vec{D} = \epsilon \vec{E}$ ,  $\vec{B} = \mu \vec{H}$ ,  $\vec{J} = \sigma \vec{E}$  y  $\vec{F} = q(\vec{v} \times \vec{B} + \vec{E})$

## Revisiting Ley de Lenz-Faraday

$$\nabla \times \vec{E} = -\frac{\partial \vec{B}}{\partial t} \Rightarrow \varepsilon = -\frac{d\Psi}{dt} = -N \frac{d\Phi}{dt}$$

- Suponga un circuito (solenoides) con  $N$  espiras recorrido por una corriente variable en el tiempo  $i(t)$



# Inductor

- 1  $i(t)$  crea un campo  $\vec{B}(t)$  en el interior del solenoide
- 2  $\vec{B}(t)$  crea un flujo en el propio solenoide  $\Psi(t) = N\Phi(t)$  tal que

$$\Psi(t) = Li(t)$$

- 3 Flujo variable  $\Psi(t)$  **induce** una corriente que crea un campo que se opone  $\vec{B}(t)$
- 4 Se genera una f.e.m. inducida<sup>1</sup>

$$\varepsilon = \frac{d\Psi}{dt} = L \frac{di(t)}{dt} \text{ V}$$

- En una bobina se cumple:



$$v(t) = L \frac{di(t)}{dt}$$

<sup>1</sup>Nota: ya se ha tenido en cuenta el signo de la corriente

# Campos variables

- Postulados

$$\nabla \cdot \vec{D} = \rho_v$$

$$\nabla \times \vec{E} = -\frac{\partial \vec{B}}{\partial t}$$

$$\nabla \cdot \vec{B} = 0$$

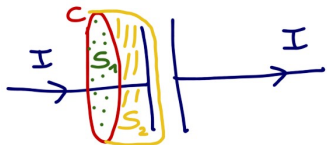
$$\nabla \times \vec{H} = \vec{J} + \boxed{\frac{\partial \vec{D}}{\partial t}}$$

junto con  $\vec{D} = \epsilon \vec{E}$ ,  $\vec{B} = \mu \vec{H}$ ,  $\vec{J} = \sigma \vec{E}$ , y  $\vec{F} = q(\vec{v} \times \vec{B} + \vec{E})$

# Corriente de desplazamiento

$$\nabla \times \vec{H} = \vec{J} + \frac{\partial \vec{D}}{\partial t}$$

- Uno de los grandes descubrimientos de la física
  - 1 Campos  $\vec{D}(t) \rightarrow \vec{H}(t)$  (incluso sin  $\vec{J}$  !!)
  - 2  $\vec{E}$  y  $\vec{H}$  son inseparables
- Formulada por Maxwell para resolver inconsistencia de la Ley de Ampère en un condensador  $\rightarrow$  Ley de Ampère-Maxwell



$$\oint_C \vec{H} \cdot d\vec{l} = \begin{cases} I, & \text{en } S_1 \\ 0, & \text{en } S_2 \end{cases}$$



## Corriente de desplazamiento en un condensador

Un condensador de placas plano-paralelas de área  $S$  y separación  $d$  presenta una d.d.p.  $v(t)$  entre sus extremos. Calcule la corriente de desplazamiento y la relación  $v(t)$  e  $i(t)$ . El medio entre las placas tiene una permitividad  $\epsilon$

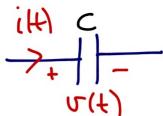
- De la transparencia anterior:  $I = I_d$ , donde  $I_d = J_d \cdot S$ , con  $J_d = \frac{\partial |\vec{D}|}{\partial t}$
- En un condensador se cumple que

$$E = \frac{v(t)}{d} \Rightarrow D = \epsilon E = \epsilon \frac{v(t)}{d} \Rightarrow J_d = \frac{\epsilon}{d} \frac{dv(t)}{dt}$$

- Y por tanto

$$I_d = J_d \cdot S = \epsilon \frac{S}{d} \frac{dv(t)}{dt} = C \frac{dv(t)}{dt}$$

- Desde el punto de vista general



$$i(t) = C \frac{dv(t)}{dt}$$

# Las ecuaciones de Maxwell están acopladas

- Desacoplar ecuaciones de Maxwell

$$\begin{aligned}\nabla \times \nabla \times \vec{H} &= \nabla \times \left( \vec{J} + \frac{\partial \vec{D}}{\partial t} \right) = \sigma(\nabla \times \vec{E}) + \epsilon \left( \nabla \times \frac{\partial \vec{E}}{\partial t} \right) \\ &= \sigma \left( -\mu \frac{\partial \vec{H}}{\partial t} \right) + \epsilon \left( -\mu \frac{\partial^2 \vec{H}}{\partial t^2} \right)\end{aligned}$$

- Teniendo en cuenta que  $\vec{\nabla} \times \vec{\nabla} \times \vec{H} = \nabla(\nabla \cdot \vec{H}) - \nabla^2 \vec{H}$

$$\nabla^2 \vec{H} - \sigma\mu \frac{\partial \vec{H}}{\partial t} - \epsilon\mu \frac{\partial^2 \vec{H}}{\partial t^2} = 0$$

- Para el campo eléctrico, procediendo de la misma forma

$$\nabla^2 \vec{E} - \sigma\mu \frac{\partial \vec{E}}{\partial t} - \epsilon\mu \frac{\partial^2 \vec{E}}{\partial t^2} = 0$$

# Ecuación de onda

- Los campos electromagnéticos (variables en el tiempo), cumplen la ecuación:

$$\begin{aligned}\nabla^2 \vec{H} - \sigma\mu \frac{\partial \vec{H}}{\partial t} - \epsilon\mu \frac{\partial^2 \vec{H}}{\partial t^2} &= 0 \\ \nabla^2 \vec{E} - \sigma\mu \frac{\partial \vec{E}}{\partial t} - \epsilon\mu \frac{\partial^2 \vec{E}}{\partial t^2} &= 0\end{aligned}$$

- ¿Qué es una onda? Una función del espacio y del tiempo  $u(z, t)$  que satisface:

$$\frac{\partial^2 u}{\partial z^2} - \frac{1}{v^2} \frac{\partial^2 u}{\partial t^2} = 0$$

la denominada **ecuación de onda**, donde  $v$  es la **velocidad de propagación** de la onda

# Ondas electromagnéticas

- En el vacío:  $\epsilon = \epsilon_0$ ,  $\mu = \mu_0$  y  $\sigma = 0$ , se tiene

$$\nabla^2 \vec{E} - \epsilon\mu \frac{\partial^2 \vec{E}}{\partial t^2} = 0 \Rightarrow \boxed{\text{el campo EM es una onda}}$$

- Comparando con la ecuación de onda, se puede identificar que  $v^2 = \frac{1}{\epsilon_0\mu_0}$ , y por tanto

$$\boxed{v = \frac{1}{\sqrt{\epsilon_0\mu_0}} = c_0 = 3 \cdot 10^8 \text{ m/s}}$$

- ¡¡¡La velocidad de propagación de una onda EM depende de dos constantes estáticas!!!

En el vacío, las ondas EM viajan a la velocidad de la luz  $\Leftrightarrow$  la luz es una onda EM.

# Solución a la ecuación de onda

- La solución general a

$$\frac{\partial^2 u}{\partial z^2} - \frac{1}{v^2} \frac{\partial^2 u}{\partial t^2} = 0$$

es la superposición de una perturbación que se desplaza en el sentido  $+z$  y otra perturbación que se desplaza en sentido  $-z$

- 1  $u(z, t) = A(vt - z) + B(vt + z)$
- 2  $u(z, t) = A \cos(\beta(vt - z)) + B \cos(\beta(vt + z))$
- 3  $u(z, t) = Ae^{j\beta(vt-z)} + Be^{j\beta(vt+z)}$

donde  $A$ ,  $B$  y  $\beta$  son constantes (reales)

Compruebe que las soluciones anteriores cumplen la ecuación de onda

# Soluciones estacionarias

- Nos interesan soluciones estacionarias (armónicas, o sinusoidales):  $\cos \omega t$ 
  - ▶ No requieren condiciones iniciales
  - ▶ Cualquier solución puede escribirse como combinación lineal de sinusoides (análisis de Fourier).
- Las soluciones del campo EM serán de la forma (asumiendo variación en  $z$ )

$$\vec{E}(z, t) = \vec{E}_0 \cos(\omega t - \beta z) \text{ V/m}$$

$$\vec{H}(z, t) = \vec{H}_0 \cos(\omega t - \beta z) \text{ A/m}$$

donde  $\beta = \frac{\omega}{v} \text{ rad/m}$  se conoce como **número de onda** o **constante de fase**

# Ondas estacionarias

- La onda estacionaria  $u(z, t) = A \cos(\omega t - \beta z)$  varía periódicamente en el **espacio** y en el **tiempo**.
  - ▶ Periodo de repetición temporal (*movie*):  $T = \frac{2\pi}{\omega}$
  - ▶ Periodo de repetición espacial: (*picture*):  $\lambda = \frac{2\pi}{\beta}$
- Las ondas estacionarias permiten trabajar de forma sencilla en el plano complejo

$$\begin{aligned}u(z, t) &= A \cos(\omega t - \beta z) = \Re \left\{ A e^{j(\omega t - \beta z)} \right\} = \\ &= \Re \left\{ \underbrace{A e^{-j\beta z}}_{\mathbb{U}} e^{j\omega t} \right\} = \Re \left\{ \mathbb{U} e^{j\omega t} \right\}\end{aligned}$$

donde  $\mathbb{U} \in \mathbb{C}$  se denomina **fasor**

# Ecuaciones de Maxwell en el plano complejo

- De esta forma, el campo EM se puede expresar como

$$\vec{E}(\vec{r}, t) = \Re \left\{ \vec{\mathbb{E}}(\vec{r}) \cdot e^{j\omega t} \right\}$$

- Si sustituimos la expresión anterior en, por ejemplo, la ecuación de Faraday

$$\nabla \times \vec{E} = -\frac{\partial \vec{B}}{\partial t} \Rightarrow \nabla \times \Re \left\{ \vec{\mathbb{E}}(\vec{r}) \cdot e^{j\omega t} \right\} = -\frac{\partial \Re \left\{ \vec{\mathbb{B}}(\vec{r}) \cdot e^{j\omega t} \right\}}{\partial t}$$

- Operando

$$\Re \left\{ \nabla \times \vec{\mathbb{E}}(\vec{r}) \cdot e^{j\omega t} \right\} = -\Re \left\{ \frac{\partial \left( \vec{\mathbb{B}}(\vec{r}) \cdot e^{j\omega t} \right)}{\partial t} \right\}$$
$$\left( \nabla \times \vec{\mathbb{E}}(\vec{r}) \right) \cdot e^{j\omega t} = -\frac{\vec{\mathbb{B}}(\vec{r}) \cdot \partial e^{j\omega t}}{\partial t} = -j\omega \vec{\mathbb{B}}(\vec{r}) \cdot e^{j\omega t}$$



# Ecuaciones de Maxwell en el plano complejo

- Simplificando

$$\left(\nabla \times \vec{\mathbf{E}}(\vec{r})\right) \cdot e^{j\omega t} = -j\omega \vec{\mathbf{B}}(\vec{r}) \cdot e^{j\omega t}$$

- Se llega a

$$\nabla \times \vec{\mathbf{E}} = -j\omega \vec{\mathbf{B}}$$

las derivadas temporales se convierten en productos  $j\omega$

- Siguiendo la misma metodología, las ecuaciones de Maxwell pueden escribirse como

$$\begin{aligned}\nabla \cdot \vec{\mathbf{D}} &= \rho_v \\ \nabla \times \vec{\mathbf{E}} &= -j\omega \vec{\mathbf{B}} \\ \nabla \cdot \vec{\mathbf{B}} &= 0 \\ \nabla \times \vec{\mathbf{H}} &= \vec{\mathbf{J}} + j\omega \vec{\mathbf{D}}\end{aligned}$$

junto con  $\vec{\mathbf{D}} = \epsilon \vec{\mathbf{E}}$ ,  $\vec{\mathbf{B}} = \mu \vec{\mathbf{H}}$  y  $\vec{\mathbf{J}} = \sigma \vec{\mathbf{E}}$

# Espectro EM

- Utilizando fasores en la ecuación de onda se llega a

$$\nabla^2 \vec{\mathbb{E}} + \vec{\mathbb{E}} (\omega^2 \mu \epsilon - j \omega \sigma \mu) = 0$$

$$\nabla^2 \vec{\mathbb{H}} + \vec{\mathbb{H}} (\omega^2 \mu \epsilon - j \omega \sigma \mu) = 0$$

- La ecuación anterior, para un medio determinado  $(\epsilon, \mu, \sigma)$ , sólo depende de  $\omega$
- La solución del campo EM variable en el tiempo fenómenos electromagnéticos, depende de  $\omega$ 
  - ▶ Los fenómenos EM se ordenan de acuerdo a  $\omega \rightarrow$  espectro EM.